

# 反激电源变压器的设计要点

陈庆彬 博士

cqb@fzu.edu.cn



福州大学功率变换电磁技术研究中心

# 主要内容

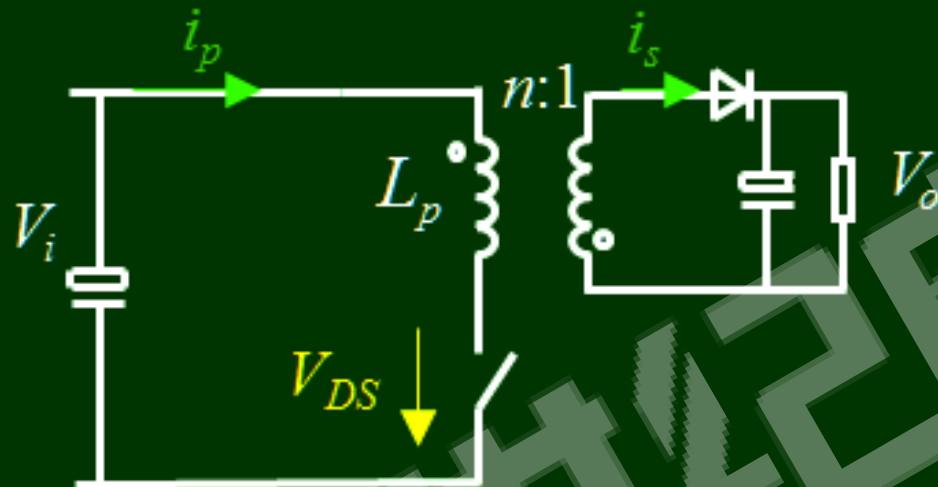
1. 反激电源的基本原理
2. 反激变压器的电气参数设计
3. 反激变压器的一般设计方法
4. 反激变压器的杂散参数设计与控制
5. 反激变压器的损耗设计
6. 反激电源的EMI设计

# 反激电源的基本原理



21世纪电源网  
21dianyuan.com

## 反激变换器拓扑结构及特点



### ◆ 优点:

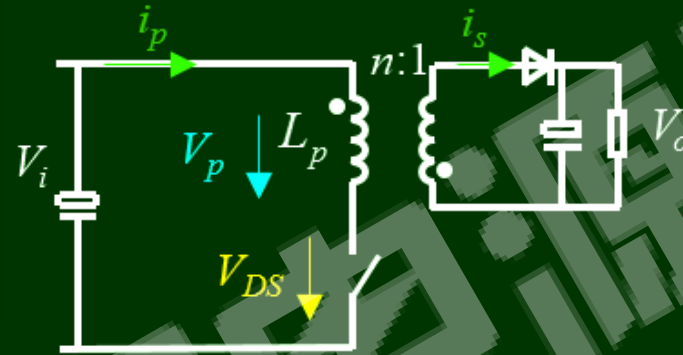
结构简单、所用的开关器件少

### ◆ 缺点:

一般适用于小功率应用场合、变压器设计难度高

# 反激变换器的工作原理-CCM

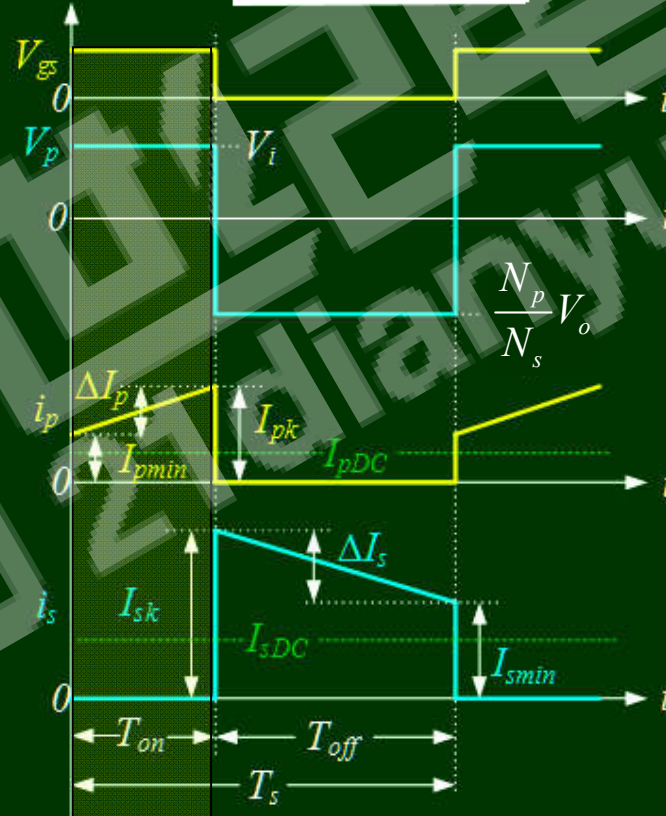
- Ton期间: Mosfet导通, 二极管D1截止



$$V_i = L_p \frac{di_p}{dt} = N_p \frac{d\Phi}{dt}$$

$$\Delta\Phi_+ = \frac{V_i}{N_p} \cdot DT_s$$

$$\Delta I_p = \frac{V_i}{L_p} \cdot DT_s$$



## 反激变换器的工作原理-CCM

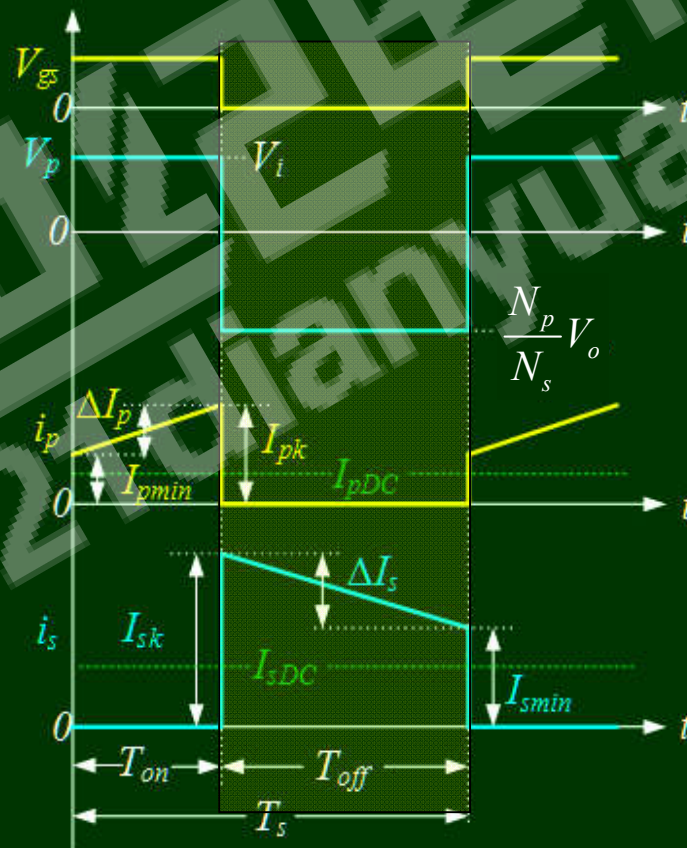
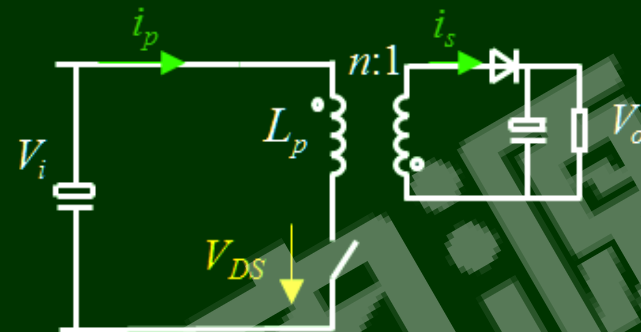
- Toff期间: Mosfet截止, 二极管D1导通

- 磁场储能不能突变:  $\frac{1}{2} L_p I_{pk}^2 = \frac{1}{2} L_s I_{sk}^2$

- 磁势平衡:  $I_{pk} \cdot N_p = I_{sk} \cdot N_s$

$$L_s \frac{di_s}{dt} = N_s \frac{d\Phi}{dt} = -V_o$$

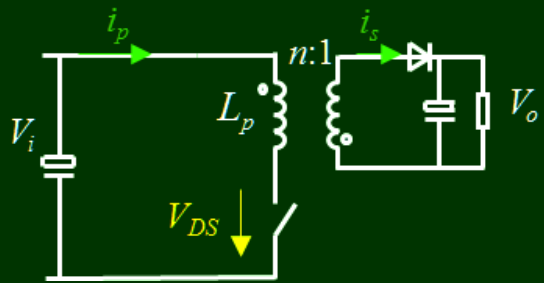
$$\Delta\Phi_- = \frac{V_o}{N_s} \cdot (1-D)T_s$$





# 输入输出电压关系

● 输入输出电压关系



$$\Delta\Phi_+ = \Delta\Phi_-$$

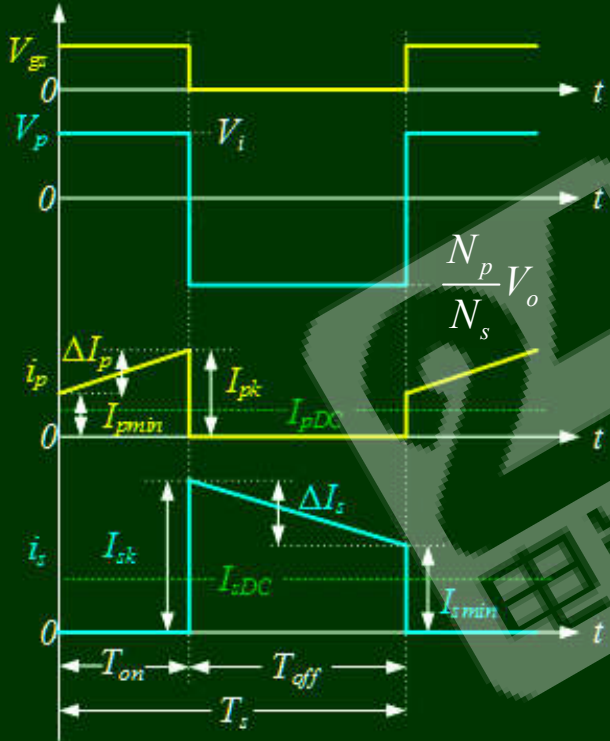
$$\Delta\Phi_+ = \frac{V_i}{N_p} \cdot DT_s$$

$$\Delta\Phi_- = \frac{V_o}{N_s} \cdot (1-D)T_s$$

$$V_o = \frac{N_s}{N_p} \frac{D}{1-D} V_i$$

电压比  $M = \frac{N_s}{N_p} \frac{D}{1-D}$

升降压  
变换器



# CCM时电流应力分析

## ● 电流关系式

$N_p$ 绕组的最大和最小电流:

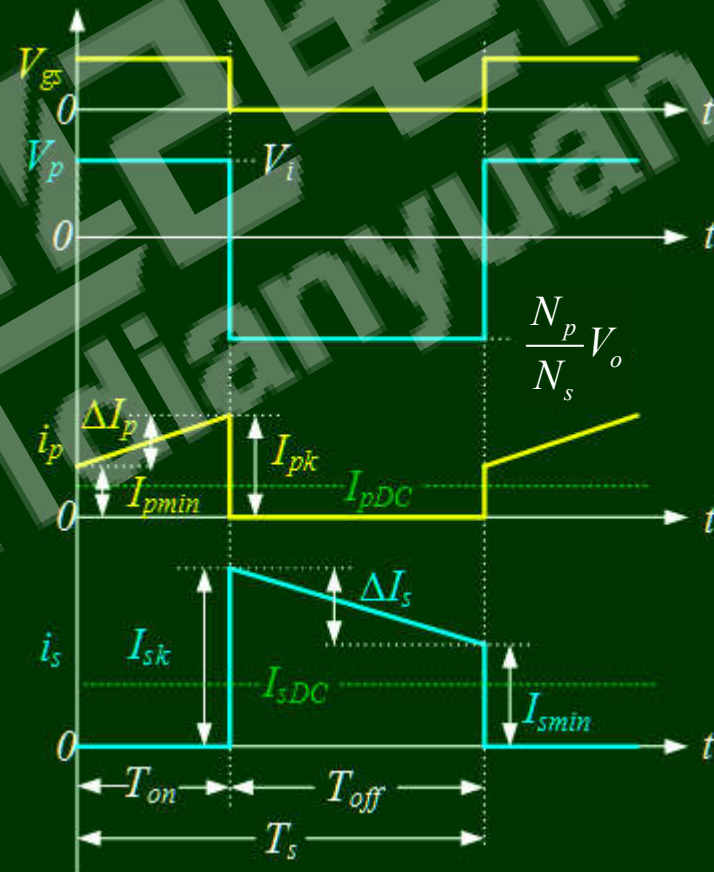
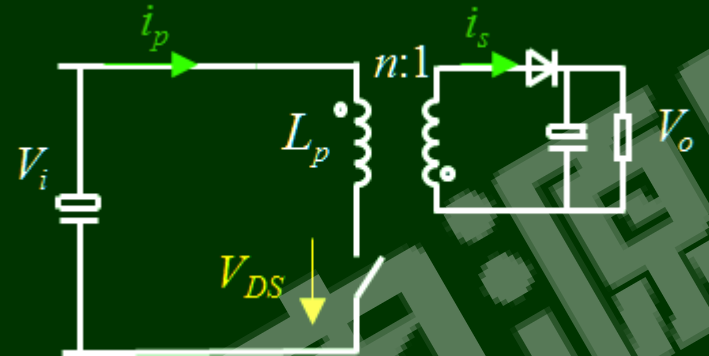
$$I_{pk} = \frac{V_o I_o}{V_i D} + \frac{V_i}{2L_p} DT_s = \frac{N_s}{N_p} \frac{I_o}{1-D} + \frac{V_i}{2L_p} DT_s$$

$$I_{pmin} = \frac{V_o I_o}{V_i D} - \frac{V_i}{2L_p} DT_s = \frac{N_s}{N_p} \frac{I_o}{1-D} - \frac{V_i}{2L_p} DT_s$$

$N_s$ 绕组的最大和最小电流:

$$i_{sk} = \frac{I_o}{1-D} + \frac{V_i}{2L_p} DT_s \frac{N_p}{N_s}$$

$$i_{smin} = \frac{I_o}{1-D} - \frac{V_i}{2L_p} DT_s \frac{N_p}{N_s}$$





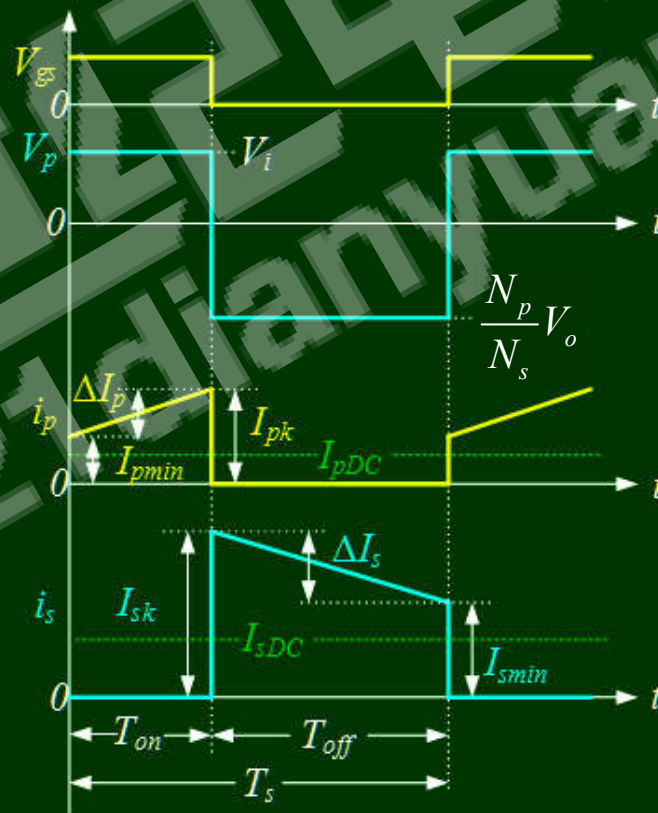
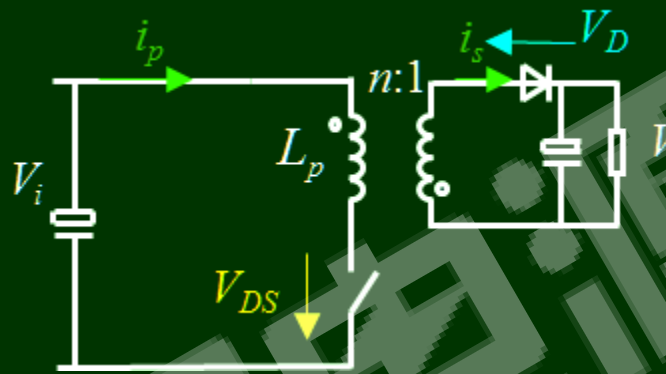
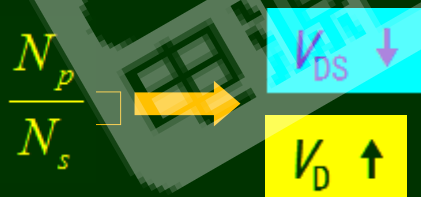
# CCM时开关管电压应力分析

- Mosfet、D1阻断时承受的电压

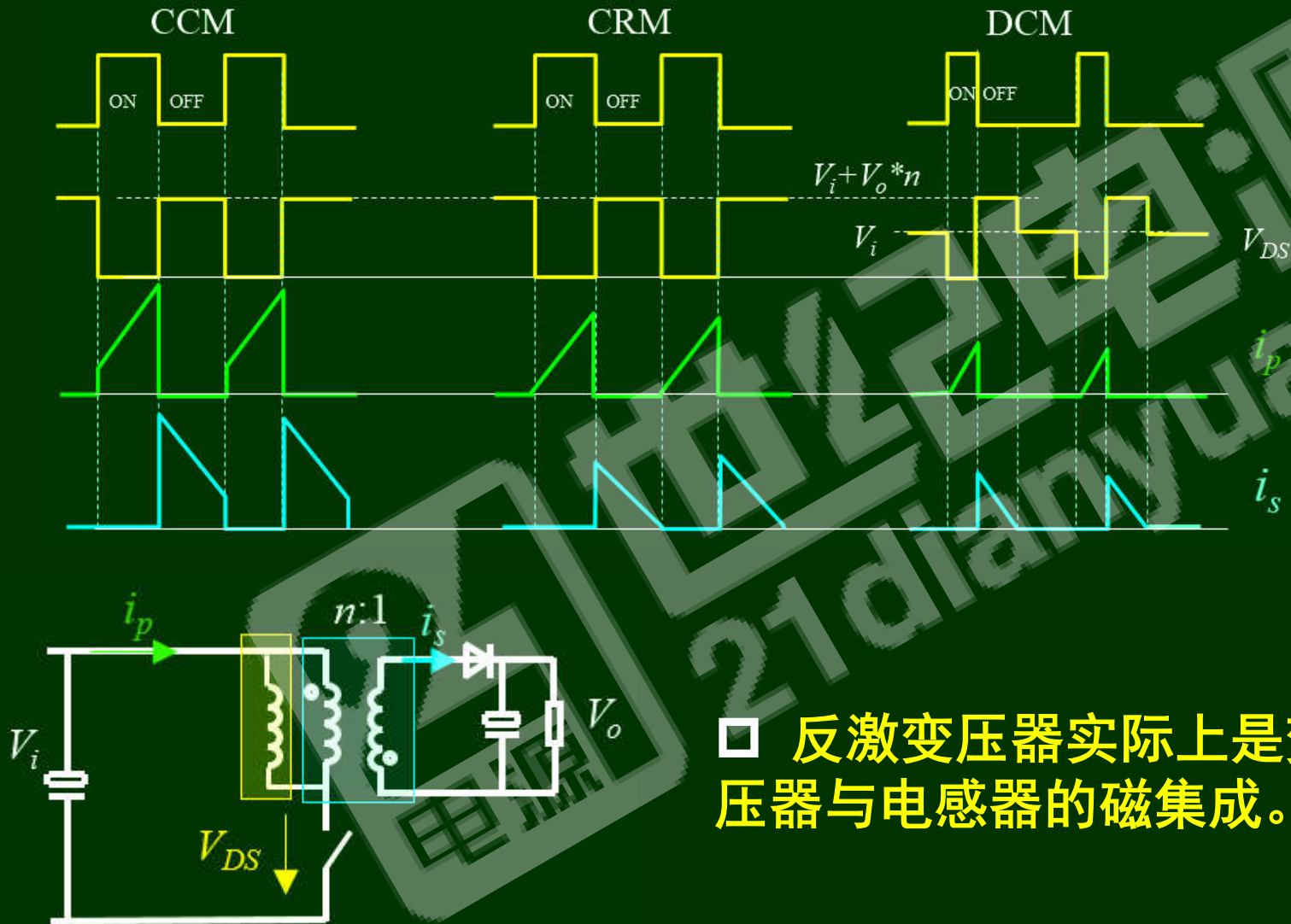
Mosfet电压应为:

$$\begin{aligned}
 V_{DS} &= V_i + V_p \\
 &= V_i + \frac{N_p}{N_s} V_o \\
 &= \frac{V_i}{1-D} = \frac{N_p}{N_s} \cdot \frac{V_o}{D}
 \end{aligned}$$

二极管电压应为:  $V_D = \frac{N_s}{N_p} V_i + V_o$



# 反激变换器的其它工作模式



# 反激电路变压器的基本设计



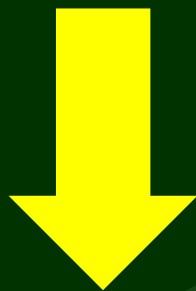
21世纪电源网  
21dianyuan.com

# 反激变压器的设计过程

## 1. 反激变压器基本电气设计

1.1 匝比

1.2 电感量



## 2. 反激变压器的结构设计

2.1 磁心材料选择

2.2 磁心型号设计与选型

2.3 绕组匝数设计

2.4 气隙设计

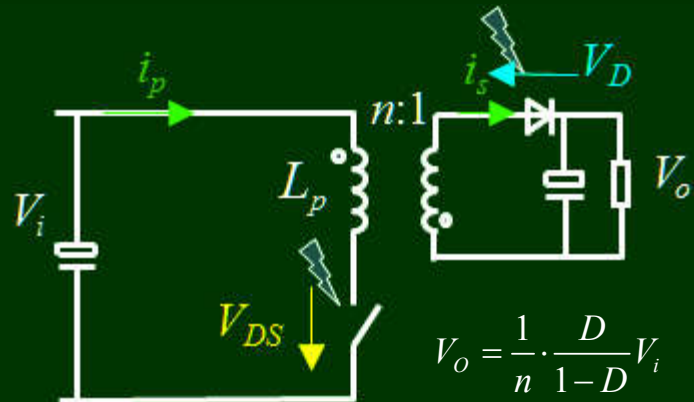
2.5 绕组线规设计

2.6 窗口利用率验算

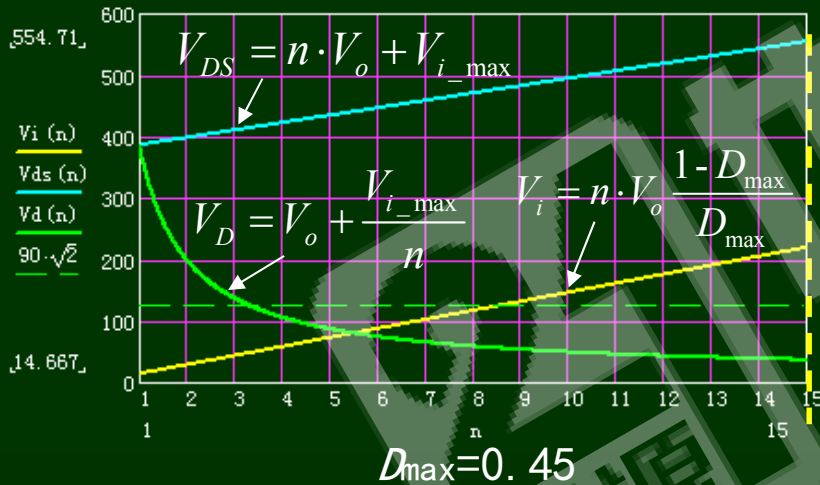
2.7 磁心和绕组损耗验算

2.8 温升验算

# 1.1 反激变压器基本电气设计 -- 匝比



- 确定最大占空比限制  $D_{max}$
- 二极管反向耐压限制  $V_{Dmax}$
- 开关管承受电压限制  $V_{DSmax}$



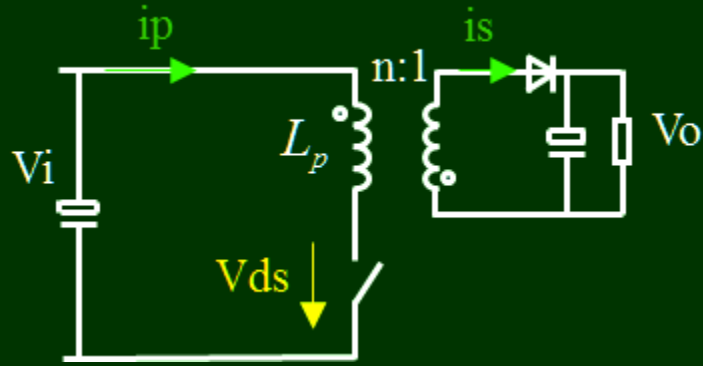
$$\begin{cases} V_i = n \cdot V_o \frac{1 - D_{max}}{D_{max}} \leq V_{i\_min} \\ V_{DS} = n \cdot V_o + V_{i\_max} \leq V_{DSmax} \\ V_D = V_o + \frac{V_{i\_max}}{n} \leq V_{Dmax} \end{cases}$$



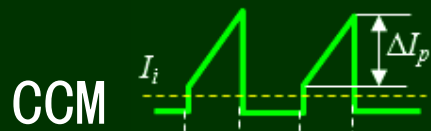
$$\frac{V_{i\_max}}{V_{Dmax} - V_{i\_max}} \leq n \leq \min\left(\frac{V_{i\_min} D_{max}}{V_o (1 - D_{max})}, \frac{V_{DSmax} - V_{i\_max}}{V_o}\right)$$

$V_o = 12V, V_{i\_max} = 265 * 1.4V, V_{i\_min} = 90 * 1.4V$

## 1.2 反激变压器基本电气设计 -- 电感量



- 法拉第电磁感应定律
- 安培环路定律



$$\begin{cases} \Delta I_p = \frac{V_i \cdot D_{\max}}{L_p \cdot f} \\ k_{rp} = \frac{\Delta I_p}{I_i} \end{cases} \Rightarrow L_p = \frac{V_i \cdot D_{\max}}{k_{rp} \cdot I_i \cdot f} = \frac{V_i^2 \cdot D_{\max}}{k_{rp} \cdot P_i \cdot f}$$

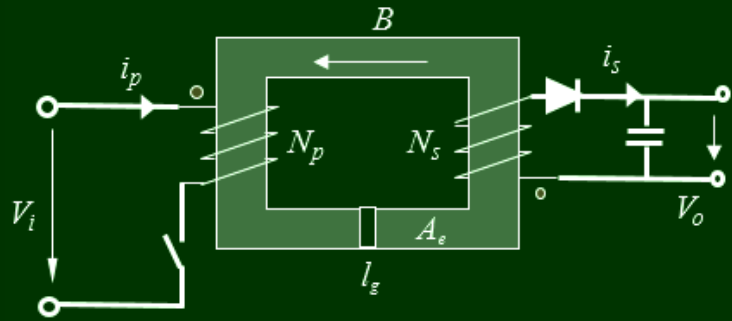


$$\begin{cases} I_{pk} = \frac{V_{i\_min} \cdot D_{\max}}{L_p \cdot f} \\ P_i = \frac{1}{2} \cdot L_p \cdot I_{pk}^2 \cdot f \end{cases} \Rightarrow L_p = \frac{(V_{i\_min} \cdot D_{\max})^2}{2 \cdot P_i \cdot f}$$





# 反激变压器磁心磁通特点



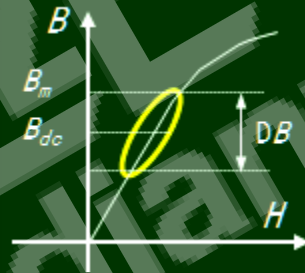
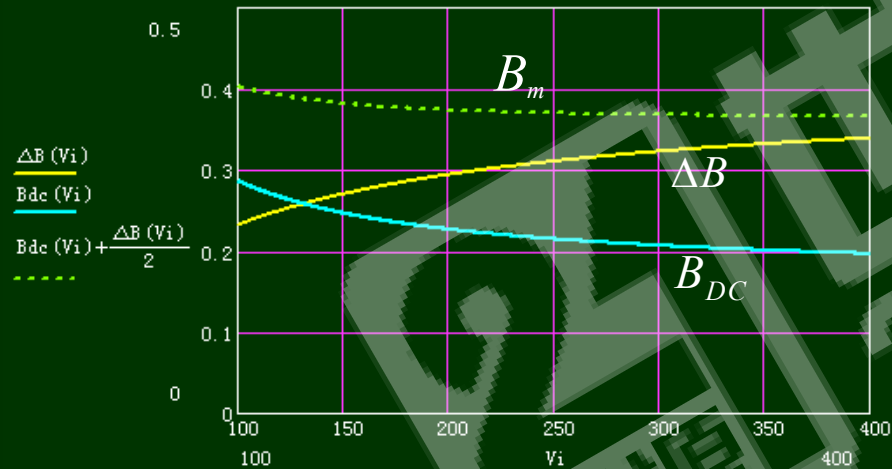
$$\Delta B = \frac{\text{VoltSecond}}{N \cdot A_e} = \frac{V_i D T_s}{N_p A_e} = \frac{V_o (1-D) T_s}{N_s A_e}$$

$$\Delta B \propto 1 / A_e$$

$$B_{DC} \approx \mu_a \frac{I_o N_s + I_{pDC} N_p}{l_g}$$

$$B_{DC} \propto 1 / l_g$$

$$B_m = B_{DC} + \frac{\Delta B}{2}$$



$B_m$ 太大 → 磁心饱和

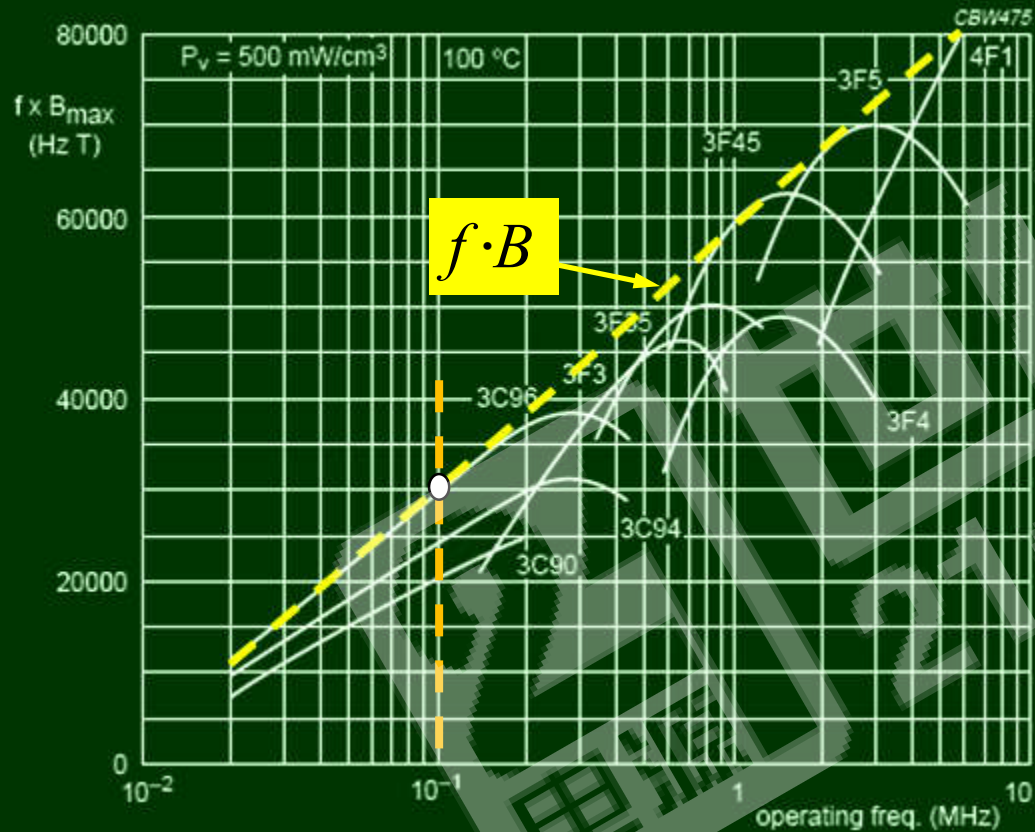
$\Delta B$ 太大 → 磁心损耗太大

□ 既要考虑磁心的损耗 ( $\Delta B$ ), 又要考虑磁心的饱和 ( $B_m$ )

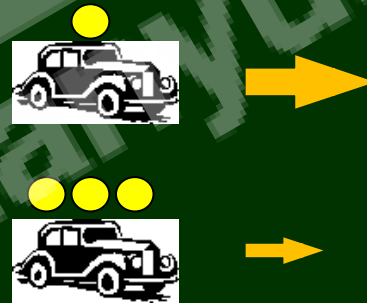
## 2.1 变压器磁心材料选择

$$P_{\text{传输磁能}} = U \cdot I \propto (f \cdot B) \cdot N \cdot A_e \cdot I$$

$(f \cdot B)$ : 磁材料性能因子



$B \rightarrow$  载重  $f \rightarrow$  速度



如开关频率为100kHz时，可选择3C96或等同的材料

## 2.2 变压器磁心的设计

磁芯型号的设计考虑:

1、设计的变压器的磁芯截面积 $A_e$ 应该保证磁芯不饱和, 即 $B_{max} < B_s$ .

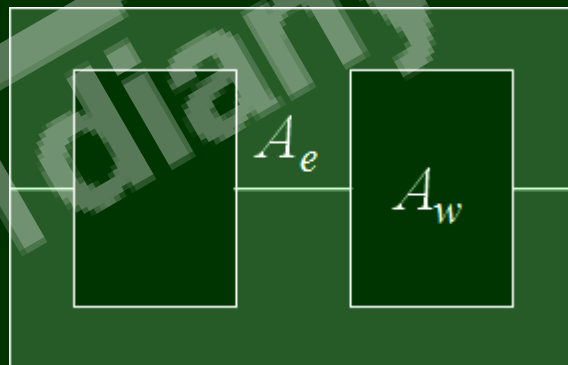
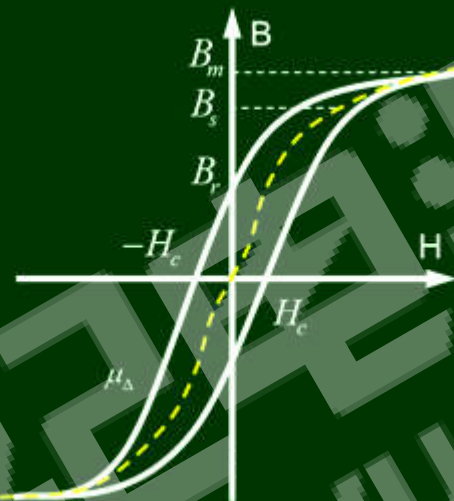
$$A_e = \frac{\Psi}{N_p \cdot B_{max}} \quad \Psi = L_p \cdot I_{pk}$$

$$A_e \geq \frac{L_p \cdot I_{pk}}{N_p \cdot B_{max}}$$

2、设计的变压器的磁芯窗口面积 $A_w$ 应该能保证线圈能绕得下. ( $S_p, S_s$ 为原副边的导线截面积;  $K_u$ 为窗口填充系数;  $J$ 允许的电流密度大小.)

$$S_p = \frac{I_{prms}}{J} \quad S_s = \frac{I_{srms}}{J}$$

$$n = \frac{N_p}{N_s}$$

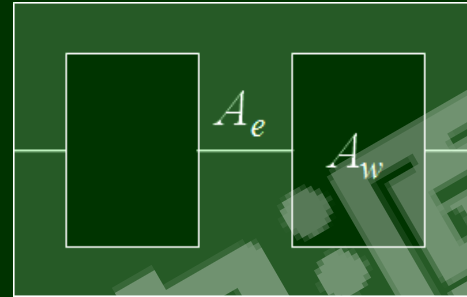


$$A_w \geq \frac{N_p \cdot S_p + N_s \cdot S_s}{K_u}$$

$$AP \geq A_e \cdot A_w = \frac{L_p \cdot I_{pk}}{B_{max}} \cdot \frac{n \cdot I_{prms} + I_{srms}}{n \cdot J \cdot K_u}$$

## 2.2 变压器磁心的选型

$$AP \geq A_e \cdot A_w = \frac{L_p \cdot I_{pk}}{B_{\max}} \cdot \frac{n \cdot I_{prms} + I_{srms}}{n \cdot J \cdot K_u}$$



CCM

$$I_{prms} = \sqrt{\frac{V_i^2}{3L_p^2} \cdot D^3 \cdot T_s^2 + I_{pmin} \cdot \frac{V_i}{L_p} \cdot D^2 \cdot T_s + I_{pmin}^2 \cdot D}$$

$$I_{srms} = \sqrt{\frac{V_o^2}{3 \cdot L_s^2} \cdot (1-D)^3 \cdot T_s^2 + I_{smin} \cdot \frac{V_o}{L_s} \cdot (1-D)^2 \cdot T_s + I_{smin}^2 \cdot (1-D)}$$

如:  $A_p = 1.597 \cdot 10^5 \text{mm}^4$

Manufacturer"	Shape"	Size"	AP"	Aw"	Aeff"	Leff"	Veff"	Wh"	Ww"	MLT"
"ACME"	"PQ"	"PQ20/20"	4122.689941	66.49500275	62	45.4	2790	14.3	4.65	41.919
"A-CORE"	"PQ"	"PQ20/16"	2809.840088	45.31999969	62	37.4	2318.8	10.3	4.4	41.448
"A-CORE"	"PQ"	"PQ20/20"	3901.040039	62.91999817	62	45.4	2814.8	14.3	4.4	41.448
"A-CORE"	"PQ"	"PQ26/20"	6876.712402	57.78749847	119	46.3	5509.7	11.5	5.025	53.4585
"A-CORE"	"PQ"	"PQ26/25"	9546.495117	80.90249634	118	55.5	6549	16.1	5.025	53.4585
"A-CORE"	"PQ"	"PQ32/20"	13245.125	77.91249847	170	55.5	9435	11.5	6.775	63.5065
"A-CORE"	"PQ"	"PQ32/30"	23233.50781	144.3074951	161	74.6	12010	21.3	6.775	63.5065
"A-CORE"	"PQ"	"PQ35/35"	42017.5	214.375	196	87.9	17228	25	8.575	71.9845
"A-CORE"	"PQ"	"PQ40/40"	64779.78906	322.2875061	201	101.9	20481	29.5	10.925	81.0905
"A-CORE"	"PQ"	"PQ50/50"	137945.3125	420.5650024	328	113	37064	36.1	11.65	99.381
"EPCOS"	"ETD"	"ETD59"	174064	473	368	139	51200	44	10.75	103.149

可选择ETD59的磁尺型号，确定 $A_e$ ， $A_w$ ，MLT， $V_e$ 等参数。

## 2.3 变压器绕组匝数计算

变压器原边绕组的匝数为：

$$\Delta\Phi_+ = \frac{V_i}{N_p} \cdot DT_s = \Delta B \cdot Ae$$



$$N_p = \frac{V_i \cdot D}{Ae \cdot \Delta B \cdot f_s}$$

$\Delta B$ 越大磁心损耗  
越大！

变压器副边绕组的匝数为：

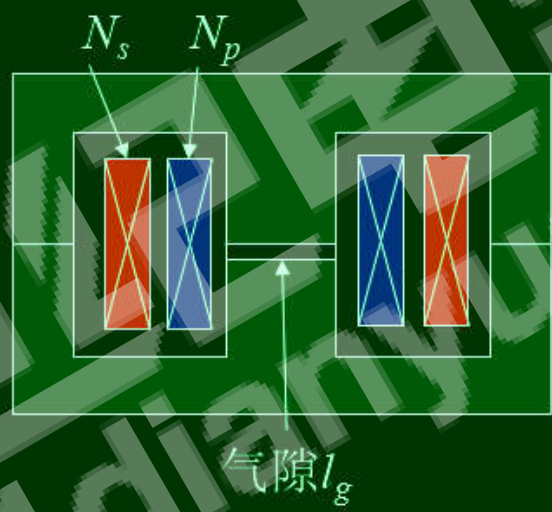
$$N_s = \frac{N_p}{n}$$



## 2.4 气隙的计算

变压器的感量与气隙的关系：

$$L_p = \frac{N_p^2 \mu_0 A_e}{lg}$$

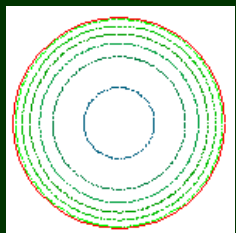
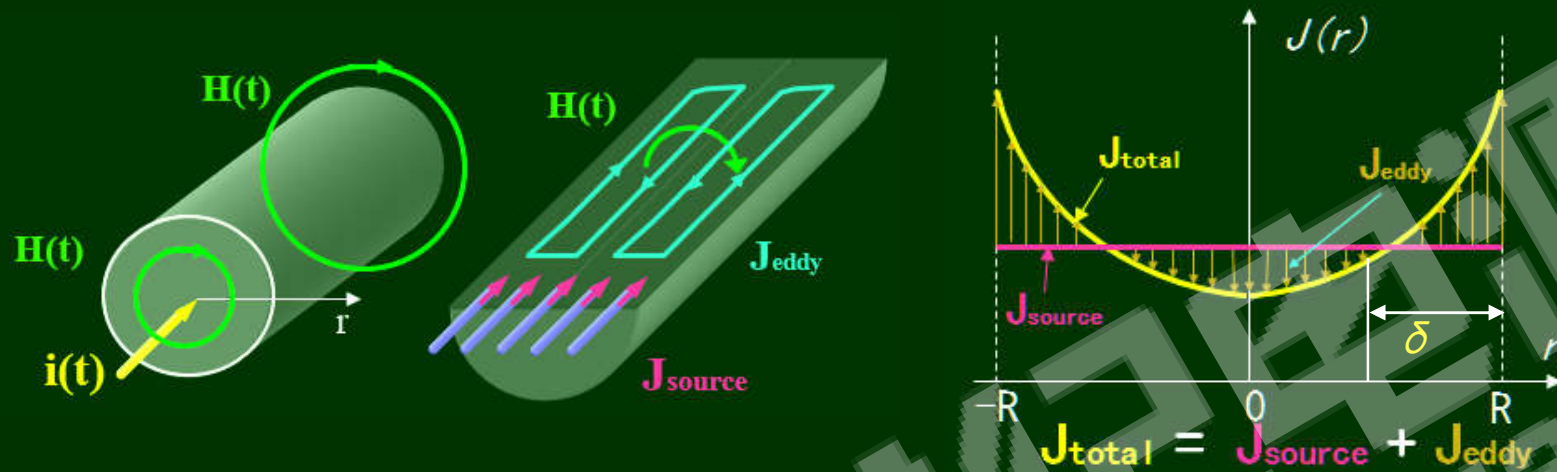


气隙的大小：

$$lg = \frac{N_p^2 \mu_0 A_e}{L_p}$$



## 2.5 绕组线规设计



透入深度:

$$\delta = \sqrt{\frac{1}{\pi f_s \mu_0 \gamma}}$$

电流减少为表面的  
36.8%时的半径

为了减小其影响，可以选择线径小于透入深度。此时交流电阻可以近似用直流电阻代替。

原副边线径选择

$$\begin{cases} r_p \leq \delta \\ r_s \leq \delta \end{cases}$$

原副边股数选择

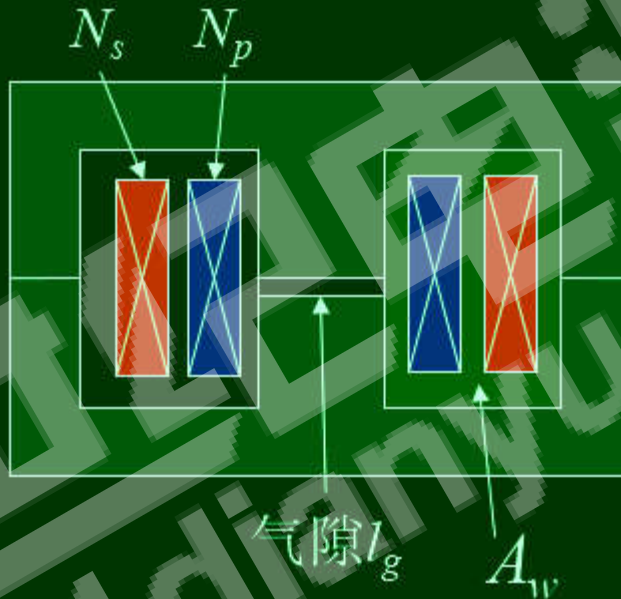
$$\begin{cases} n_p \geq \frac{I_{prms}}{J \cdot \pi r_p^2} \\ n_s \geq \frac{I_{srms}}{J \cdot \pi r_s^2} \end{cases}$$

## 2.6 变压器窗口利用率验算

所设计的线规需要满足工程绕线的窗口填充系数：

$$K_u' = \frac{N_p \cdot S_p + N_s \cdot S_s}{A_w}$$

$$= \frac{N_p \cdot n_p \pi r_p^2 + N_s \cdot n_s \pi r_s^2}{A_w}$$



当  $K_u'$  大于工程上允许的窗口填充系数时，说明所选的线规不合理，需重新选型。

## 2.7 变压器磁心损耗和绕组损耗验算

变压器的绕组损耗计算：

$$P_w = I_{prms}^2 R_p + I_{srms}^2 R_s$$

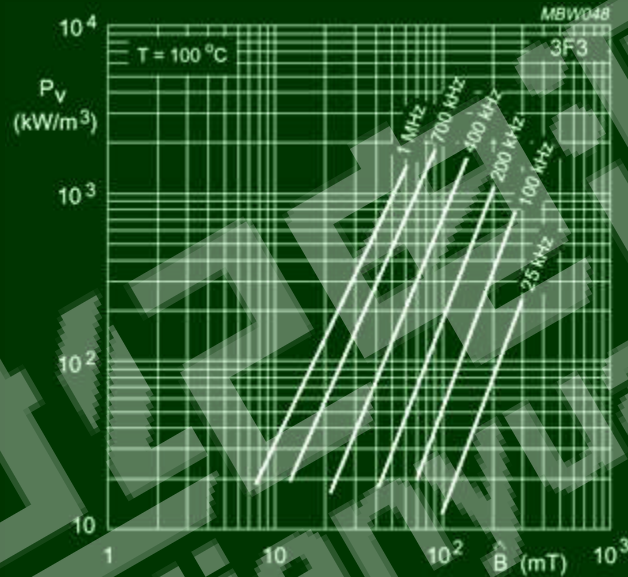
$$= I_{prms}^2 \frac{N_p MLT}{n_p \pi r_p^2 \gamma} + I_{srms}^2 \frac{N_s MLT}{n_s \pi r_s^2 \gamma}$$

变压器的磁心损耗计算：

$$P_c = C_m \cdot f_s^\alpha \left(\frac{\Delta B}{2}\right)^\beta \cdot V_e$$

变压器的总损耗：

$$P_t = P_c + P_w$$



100kHz可以选择PC40或PC44

material	"Cm"	"α"	"β"
"PC40"	0.5	1.545	2.59
"PC44"	0.923	1.483	2.489

## 2.8 变压器温升验算

变压器的温升由变压器的功率损耗 $P_t$ 及表面散热能力（热阻 $R_{th}$ ）综合决定的。

$$\Delta T = R_{th} P_t$$

变压器表面到外部环境的外热阻 $R_{th}$ 可粗略计算为：

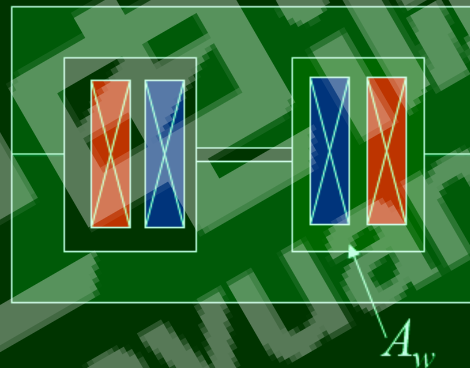
$$R_{th} = \frac{800}{A_s (cm^2)} (^\circ C / W)$$

$A_s$ 为磁性元件外表面面积。对于EE型磁芯，如EC，ETD，PM，PR等系列磁心的表面积可近似为窗口面积 $A_w$ 的22倍，即：

$$R_{th} = \frac{36}{A_w (cm^2)} (^\circ C / W)$$

对于PQ型磁芯，窗口较小，磁心的表面积可近似为窗口面积 $A_w$ 的25-50倍。

$$R_{th} = (16 \sim 32) / A_w$$

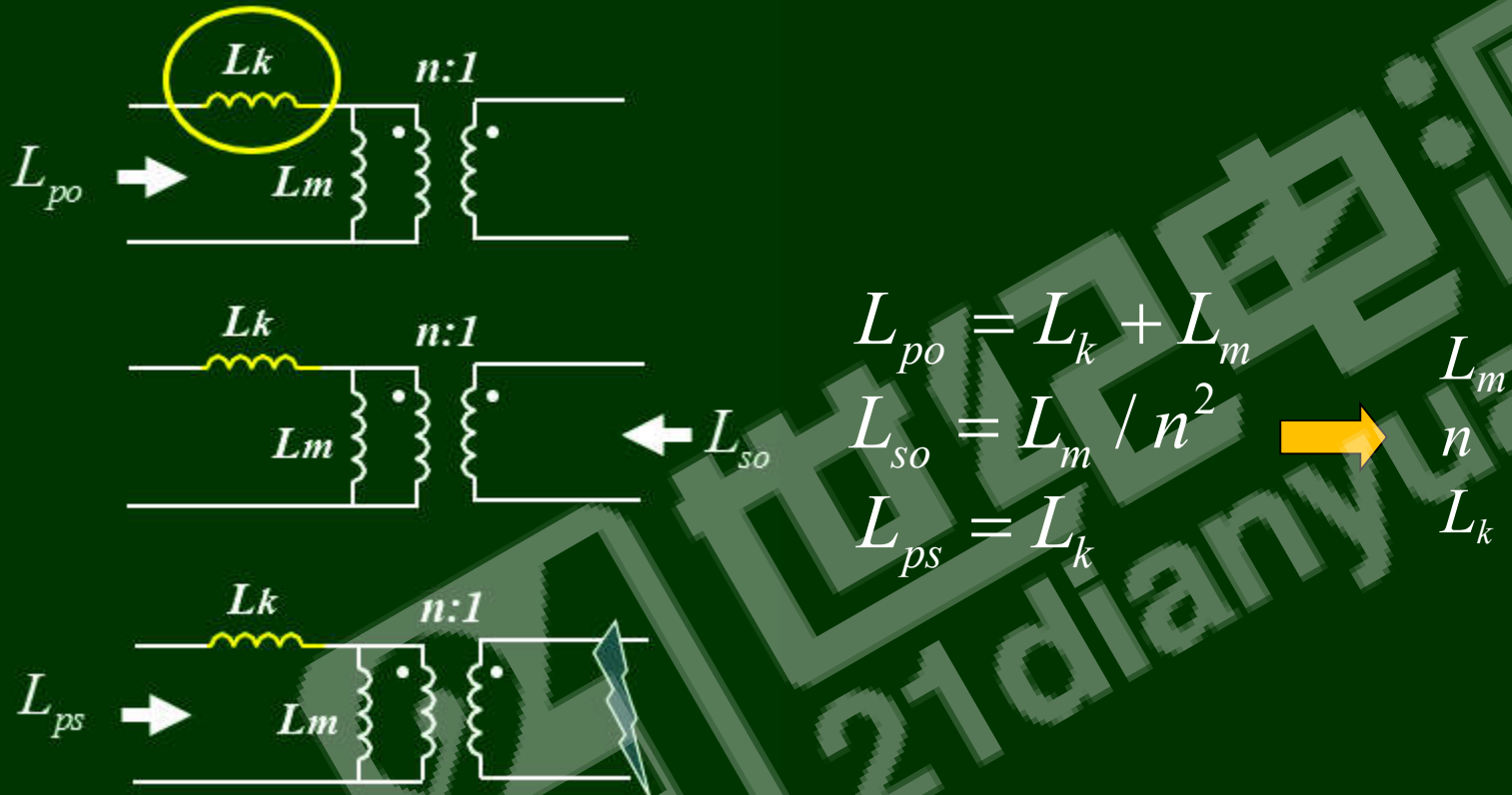


# 反激电路变压器的杂散参数



21世纪电源网  
21dianyuan.com

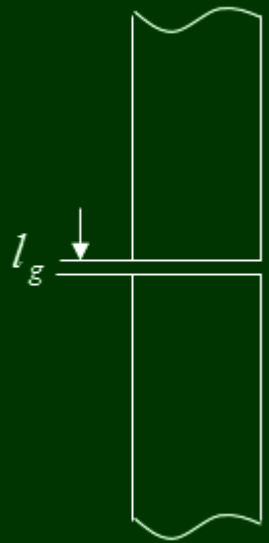
# 变压器电路模型的参数测量



合适的模型要满足：参数可测量，便于应用分析。

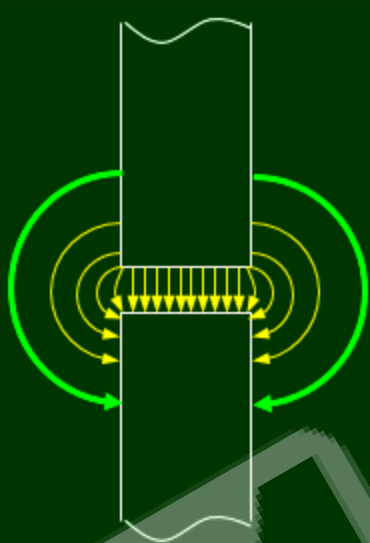


# 气隙对电感量的影响

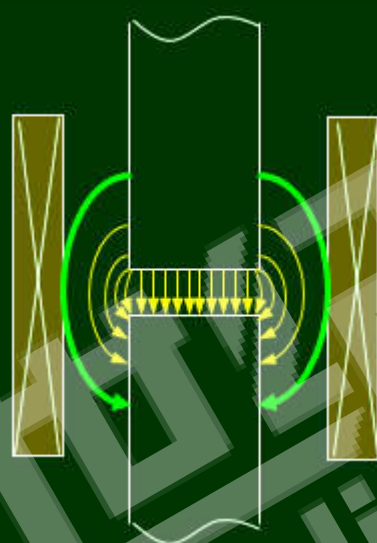


$$L = \mu_0 \frac{A_e}{l_g} \cdot N^2$$

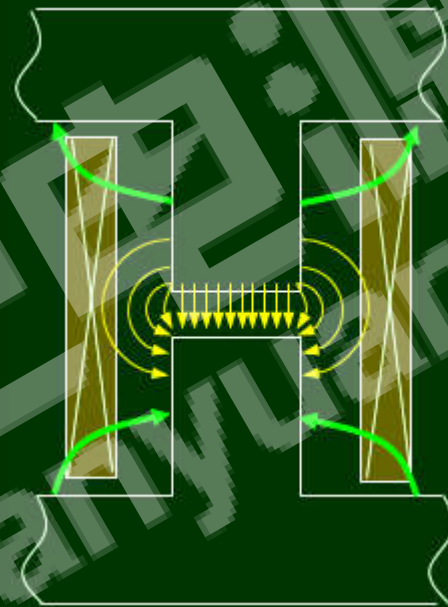
小气隙



气隙扩散效应

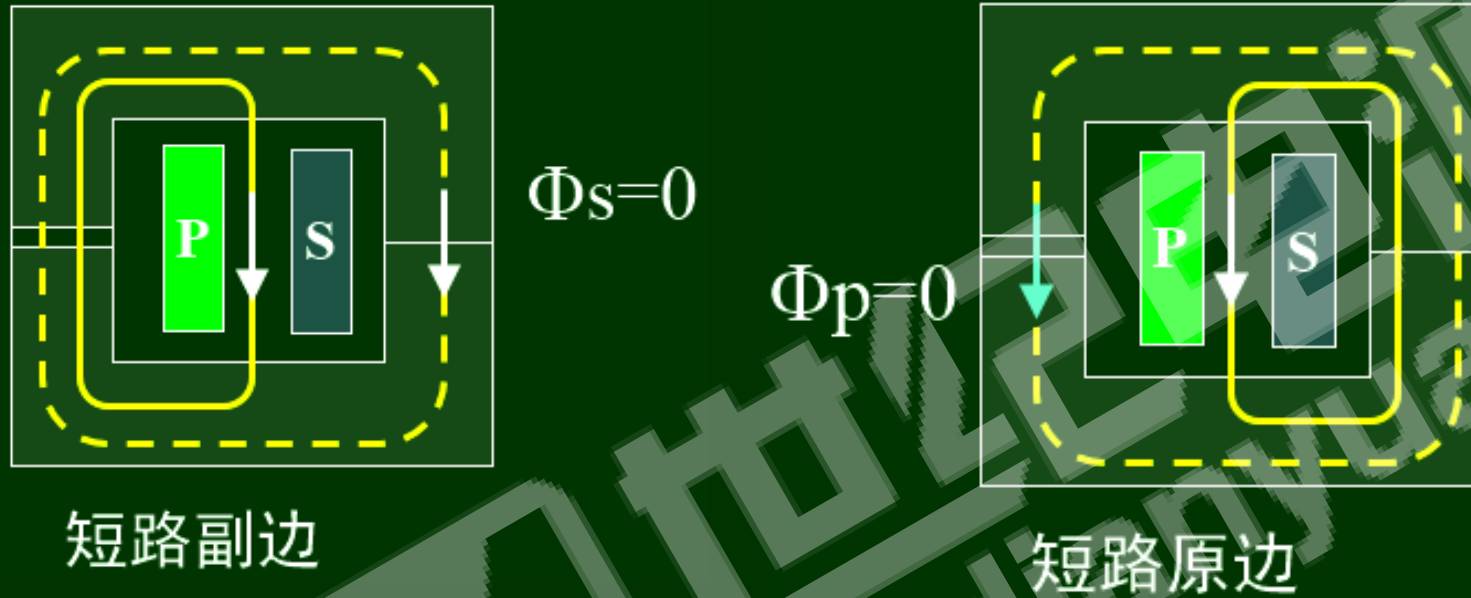


绕组涡流去磁效应



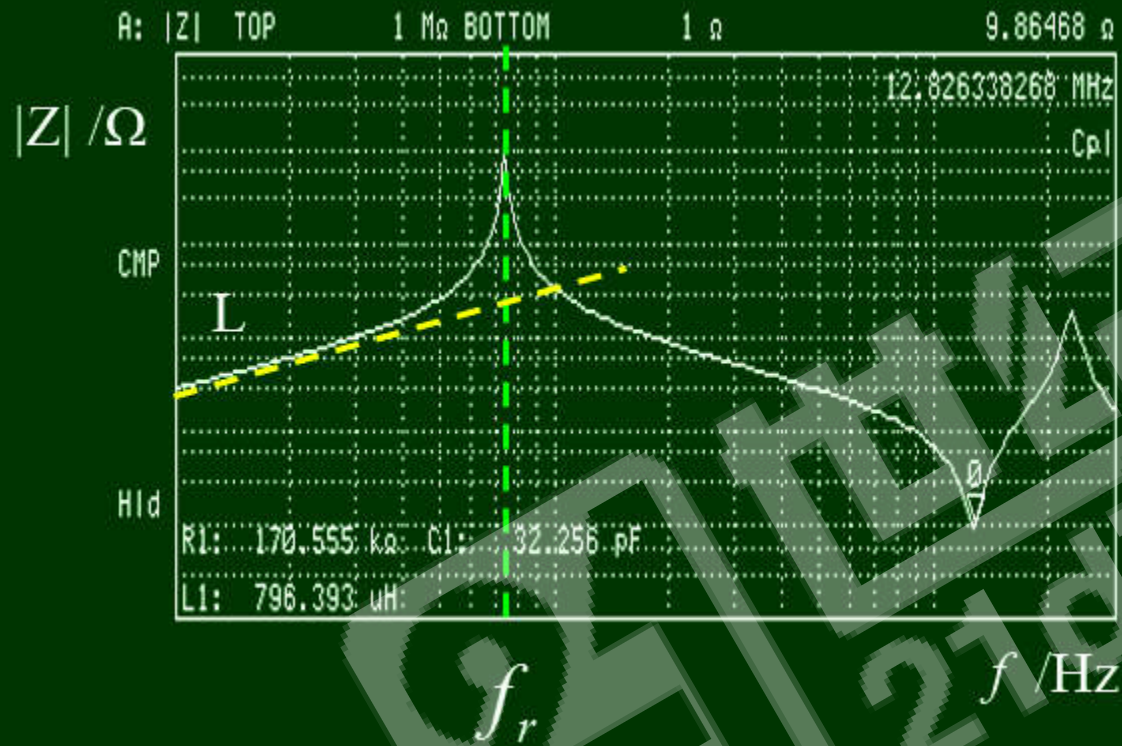
窗口高度影响

## 反激变压器的漏感



- 气隙对漏感本身值的大小影响不大
- 气隙影响漏感与激磁电感的比值，影响耦合系数

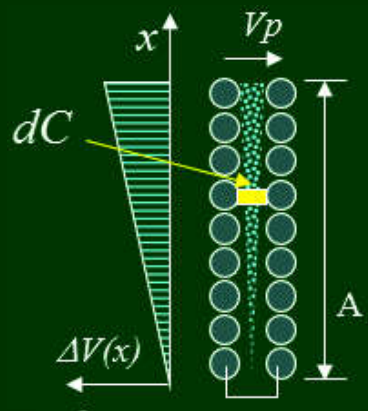
# 绕组分布电容及测量方法



$$f_r = \frac{1}{2\pi\sqrt{L \cdot C_p}}$$

□ 根据低频测量的  $L$  和谐振频率点  $f_r$ ，可以算出  $C_p$ 。

## 绕组并联等效电容 $C_p$



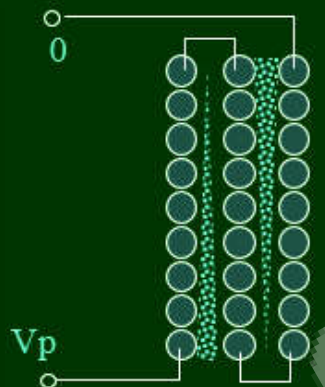
$$\Delta V(x) = V_p \frac{x}{A}$$

$$E = \int_0^A dE = \int_0^A \frac{1}{2} (dC) \Delta V(x)^2 = \int_0^A \frac{1}{2} \left( \frac{C_0}{A} dx \right) \Delta V(x)^2 = \frac{1}{2} \left( \frac{C_0}{3} \right) V_p^2$$

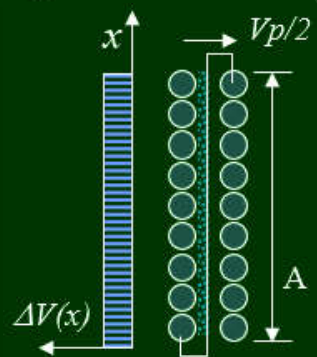
$$C_p = \frac{1}{3} C_0$$

$C_0$ : 绕组层间的结构电容

$C_p$ : 绕组层间的等效电容



$$C_p = \frac{8}{27} C_0$$



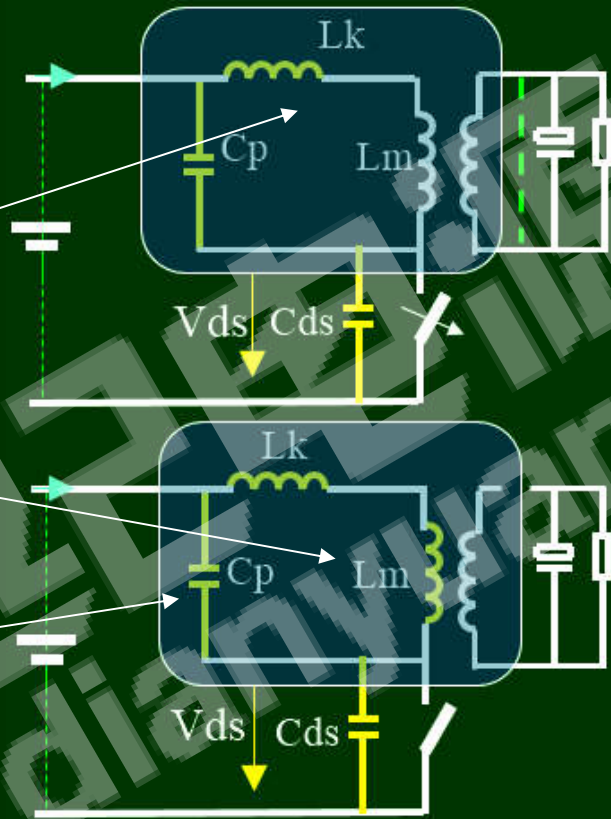
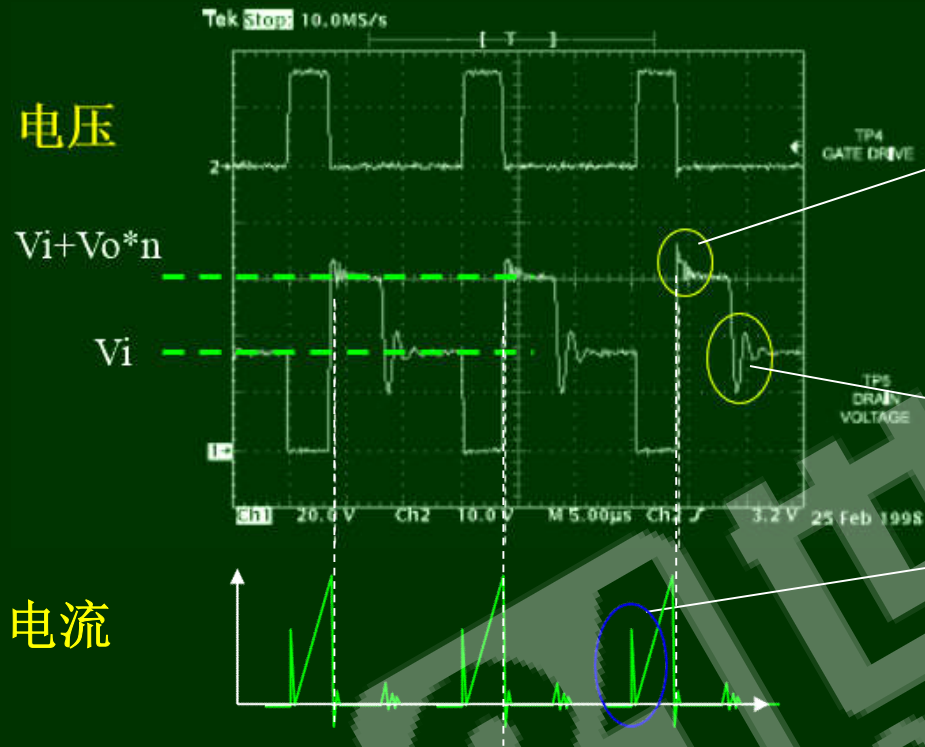
$$C_p = \frac{1}{4} C_0$$

□ 绕组的高度、层数会影响结构电容

□ 绕组的绕线方式会影响绕组等效电容



# 变压器分布参数效应



影响差模噪声

影响共模噪声

对CM-EMI的效应  $\rightarrow f_r = \frac{1}{2\pi \cdot \sqrt{L_k \cdot (C_p // C_{ds})}}$

影响开关应力

影响开关损耗

对损耗的效应  $\rightarrow P_{Lk} \approx \left(\frac{1}{2} \cdot L_k \cdot I_{pk}^2\right) \cdot f$

# 反激电路变压器的损耗和EMI设计



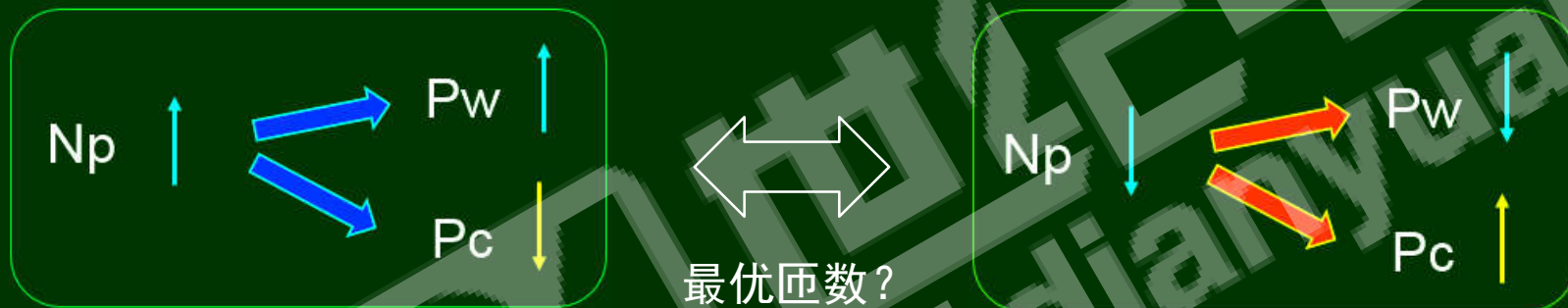
21世纪电源网  
21dianyuan.com



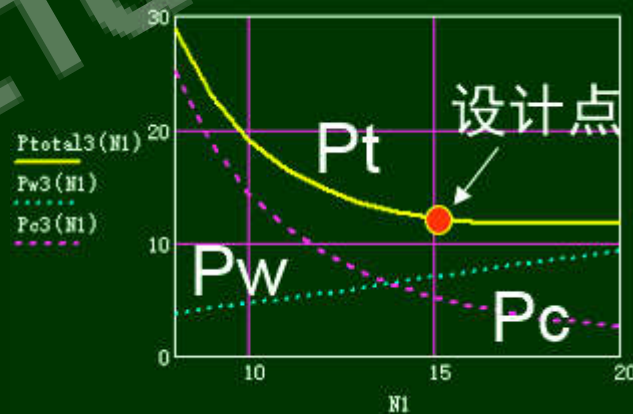
# 线圈匝数对变压器损耗的影响

变压器的绕组损耗计算: 
$$P_w = I_{prms}^2 \frac{N_p MLT}{n_p \pi r_p^2 \gamma} + I_{srms}^2 \frac{N_s MLT}{n_s \pi r_s^2 \gamma}$$

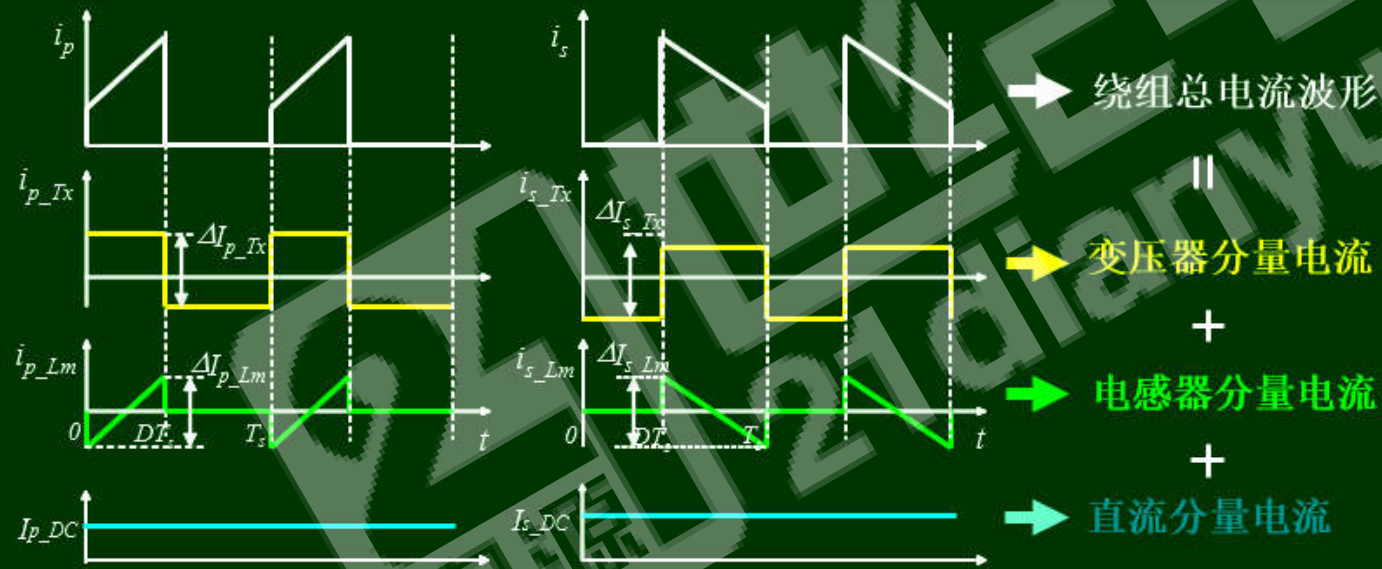
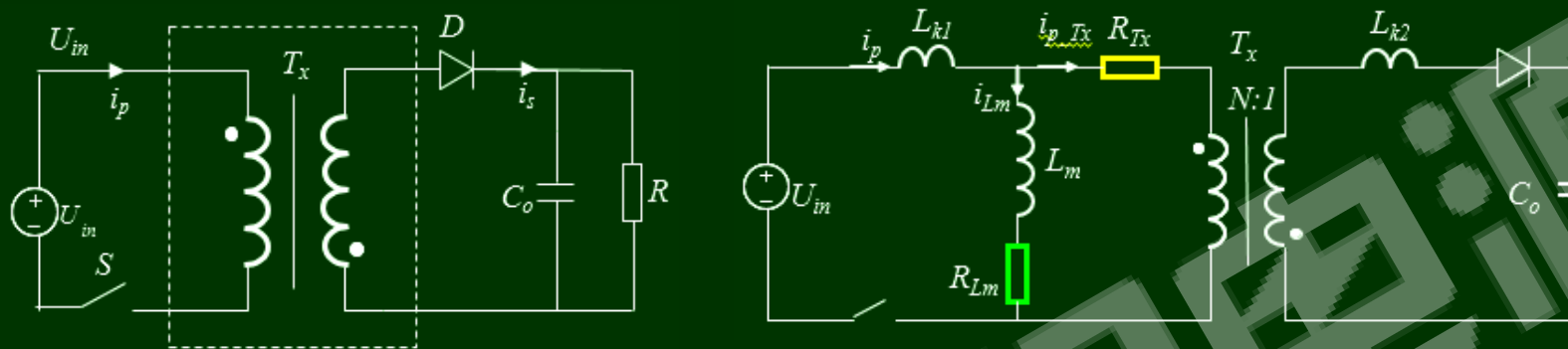
变压器的磁心损耗计算: 
$$P_c = C_m \cdot f_s^\alpha \left(\frac{\Delta B}{2}\right)^\beta \cdot V_e$$
 
$$\Delta B = \frac{V_i}{N_p \cdot Ae} \cdot DT_s$$



$$P_w = I_{prms}^2 \frac{N_p MLT}{\frac{I_{prms}}{J} \gamma} + I_{srms}^2 \frac{N_p MLT}{n \cdot \frac{I_{srms}}{J} \gamma} + C_m \cdot f_s^\alpha \left(\frac{V_i}{2N_p \cdot Ae} \cdot DT_s\right)^\beta \cdot V_e$$



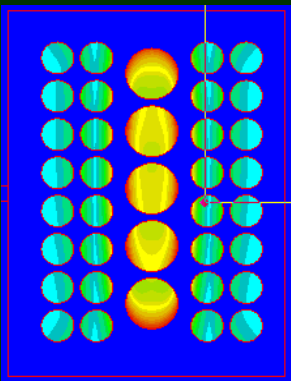
# 反激变压器绕组损耗分析-电流分解



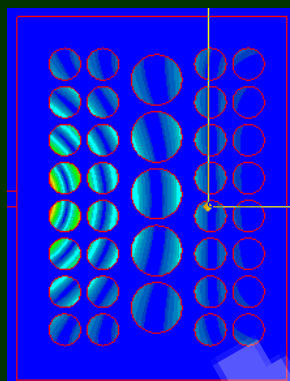
- 由于两个电流分量是正交的，所以损耗可以分离
- 变压器绕组电流可以分解为变压器和电感器分量

## 变压器绕组的磁场分布特点及绕组损耗优化

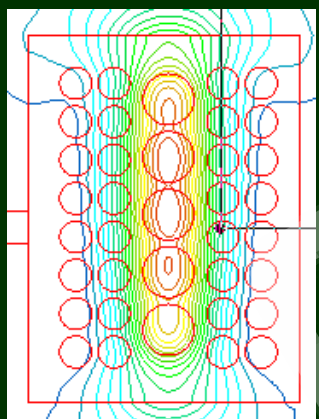
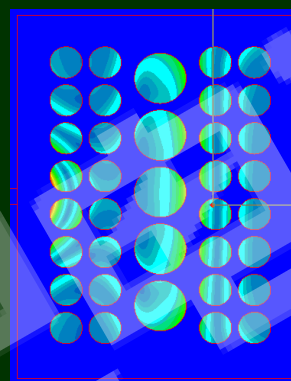
负载电流激励



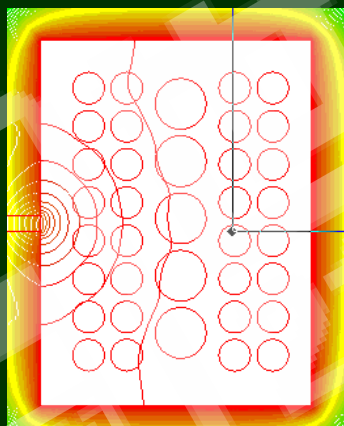
激磁电流激励



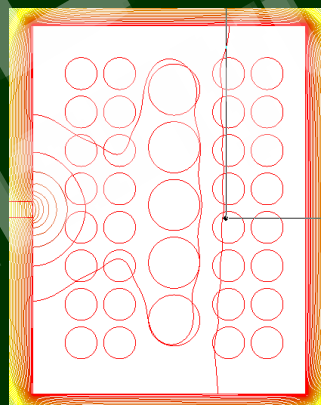
总电流激励



变压器漏感磁场



激磁电感磁场

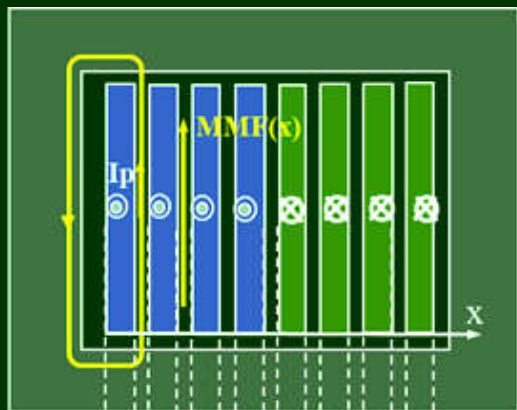


总磁场

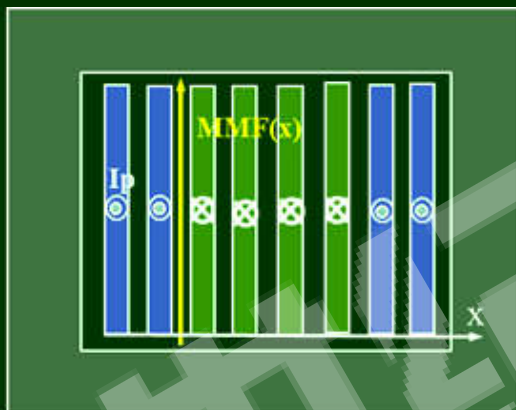
- 变压器绕组损耗的减小方法：绕组结构优化，线规优化
- 电感器绕组损耗的减小方法：分布气隙、气隙避让、多股绞线

# 变压器绕组损耗优化：绕组结构优化

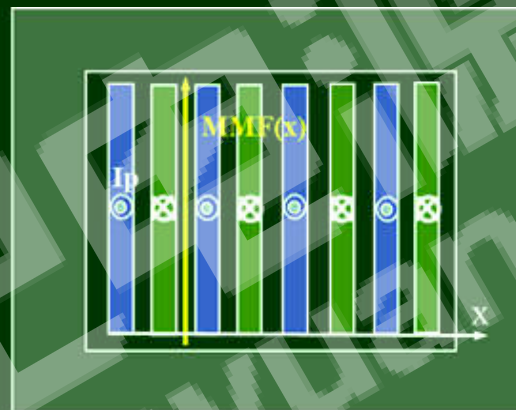
一般结构



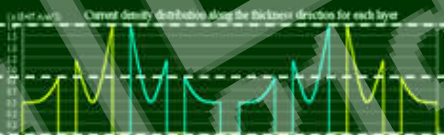
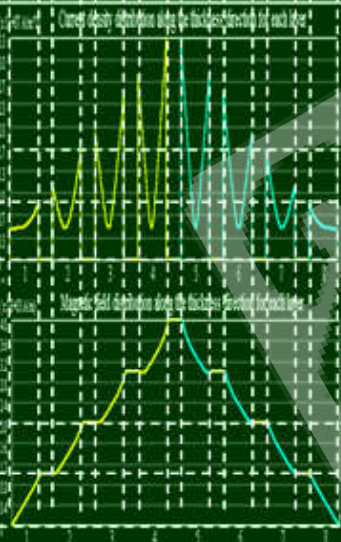
三明治结构



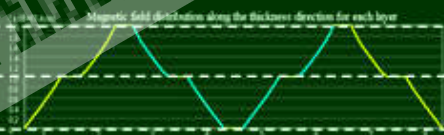
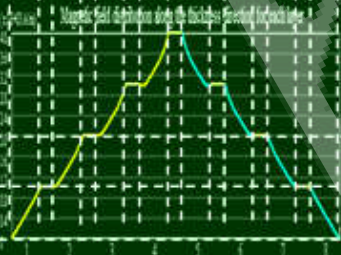
全交错结构



损耗  
 $J(x)$



漏感  
 $H(x)$





# 变压器绕组损耗优化：线规的优化设计

圆电磁线



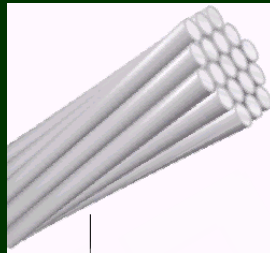
铜箔导体



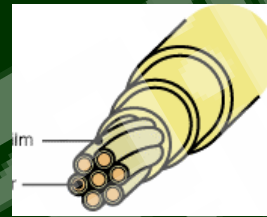
扁螺旋线圈



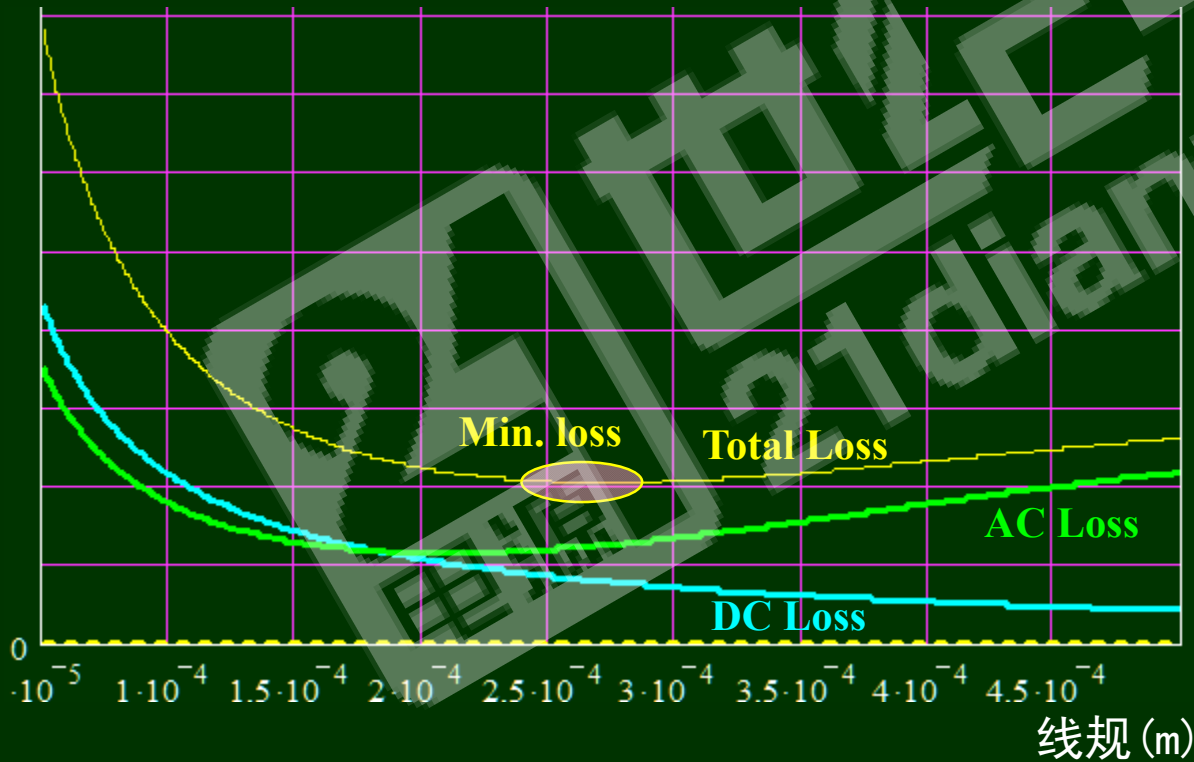
多股绞线



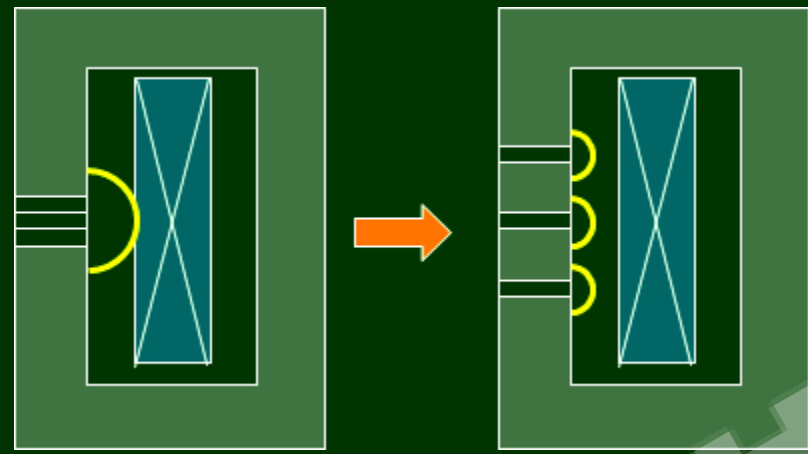
三层绝缘绞线



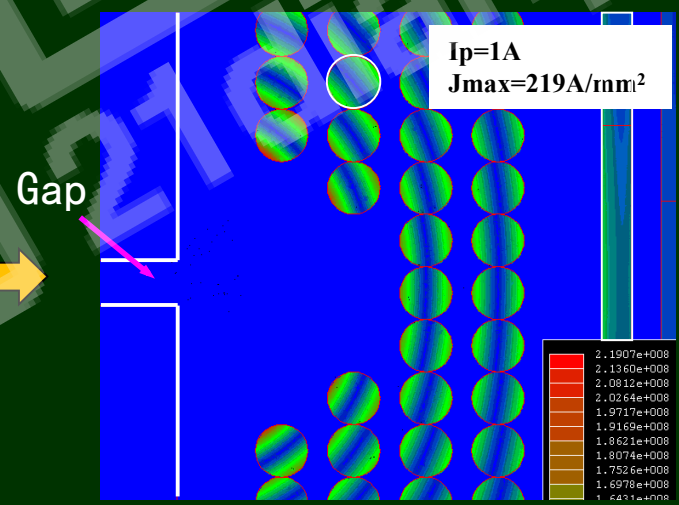
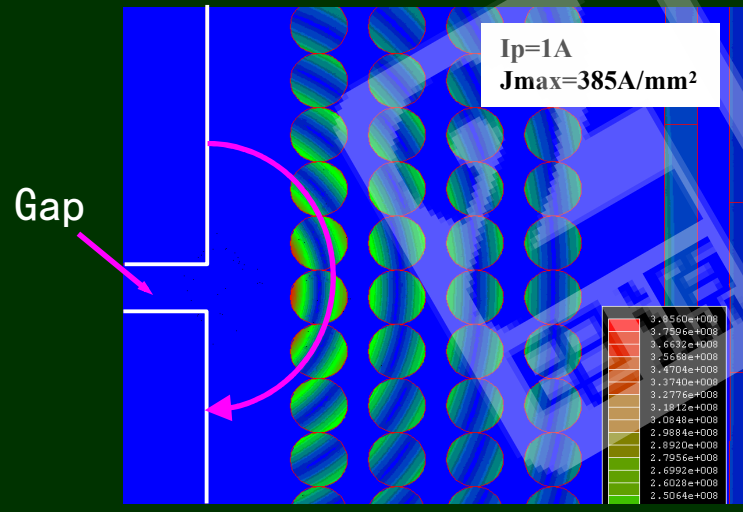
绕组损耗



# 电感器损耗减小：分布气隙、气隙避让、多股绞线



多股绞线



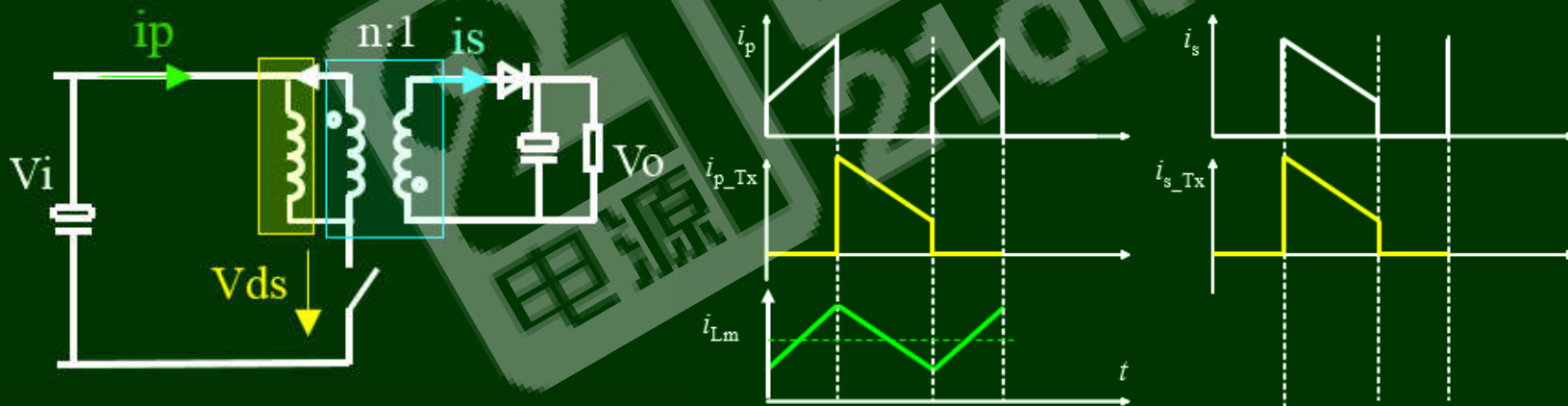


# 反激变压器设计困难所在

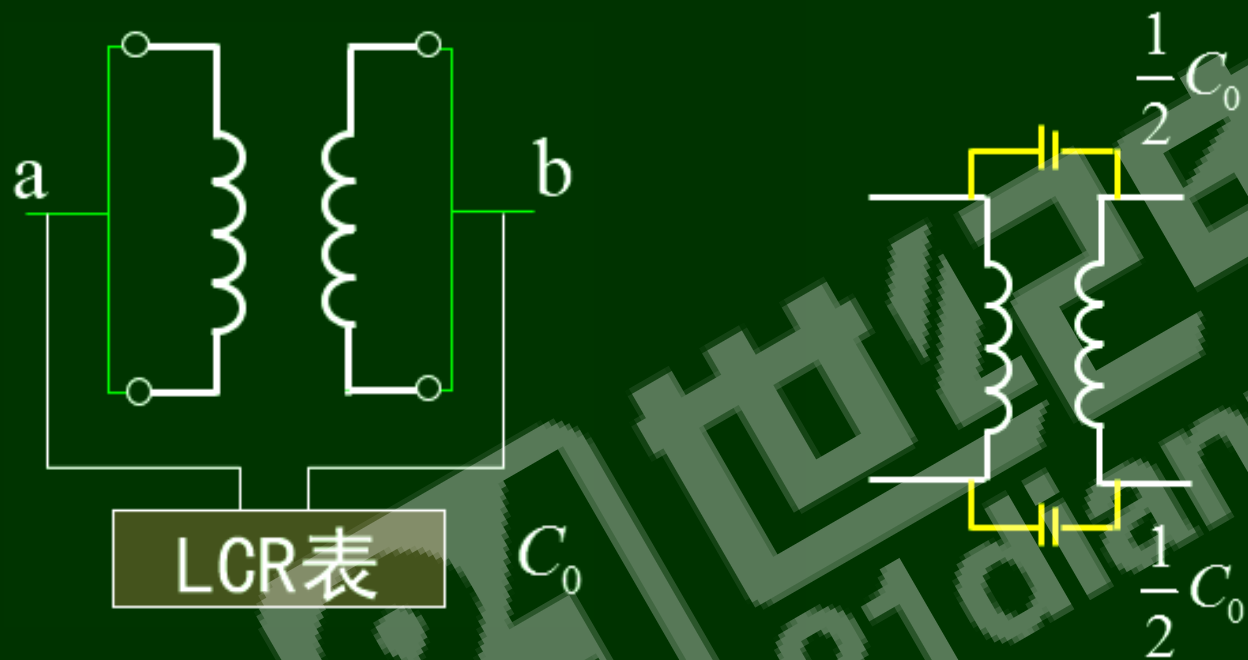
## 电感和变压器集成：

- 交、直流电流矛盾 → 绕组存在直流 线规较粗 涡流效应大
- 交、直流磁通矛盾 → 交流磁通损耗 直流磁通饱和
- 电感、变压器矛盾 → 磁芯需要气隙 存在扩散损耗 匝数相同 设计不易优化

电感和变压器分立：电感绕组纹波降低  
变压器绕组电流不变，但不需气隙

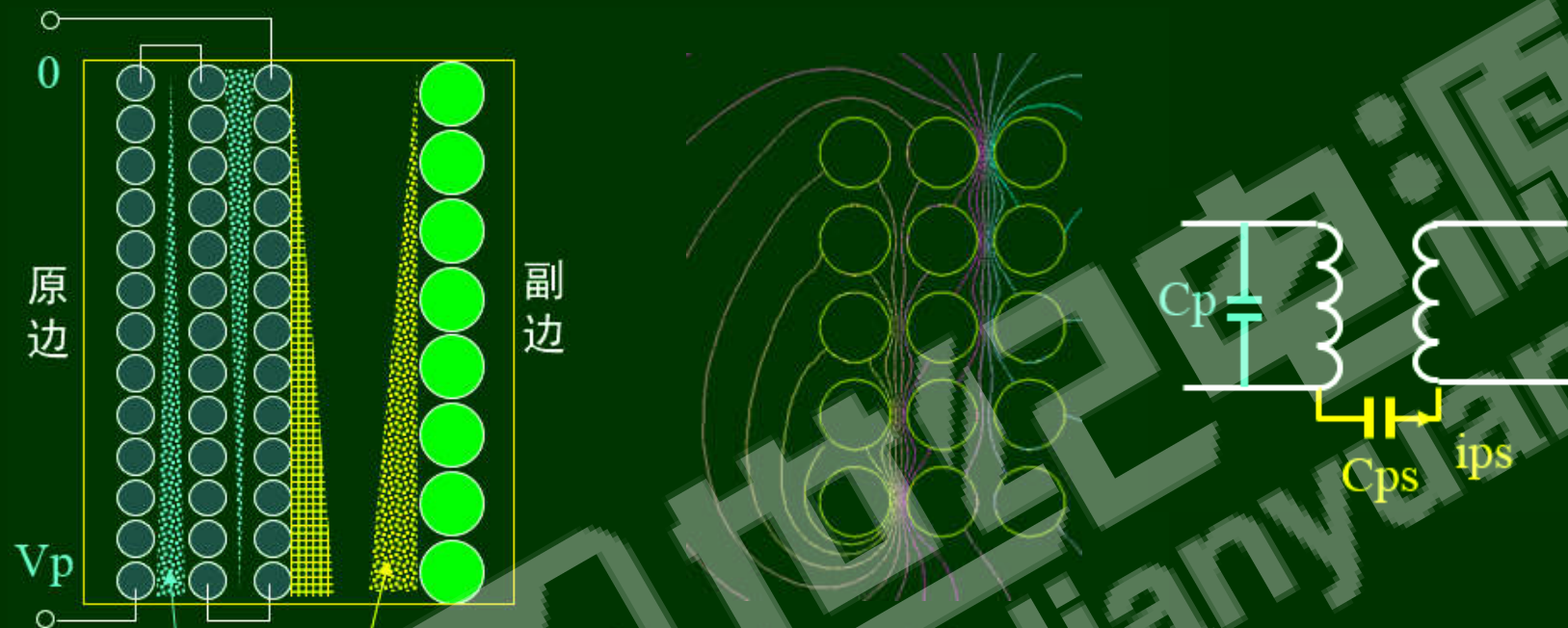


## 变压器原、副边绕组电容模型



□ 采用阻抗分析仪或LCR表测量的只是原、副边绕组间结构电容 $C_0$

# 变压器绕组电场特性及其EMI效应



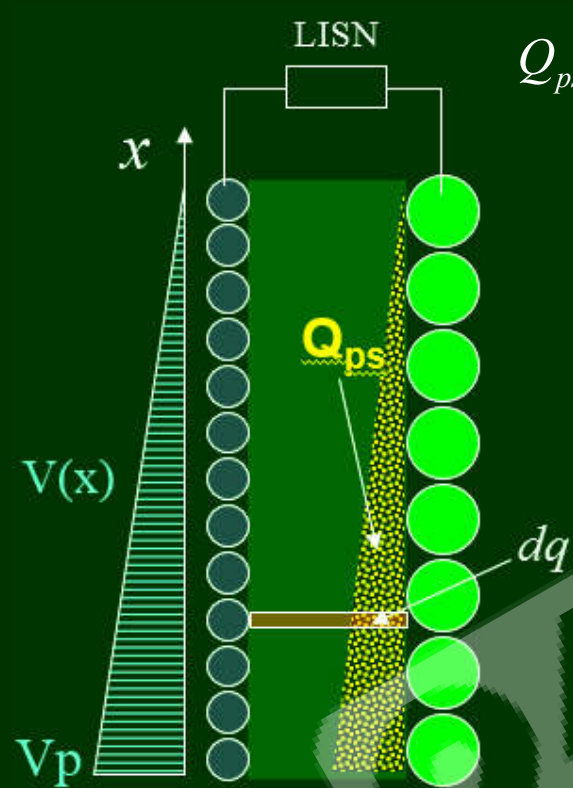
$Q_{ps}$  → 原、副边绕组间的感应电荷 →  $i_{ps}$   
 $Q_p$  → 原边绕组储存的电场能量 →  $C_p$

□  $C_p$ 对 DM-EMI 的效应 → 宽频范围的差模噪音

□  $C_{ps}$ 对 CM-EMI 的效应 → 共模噪音

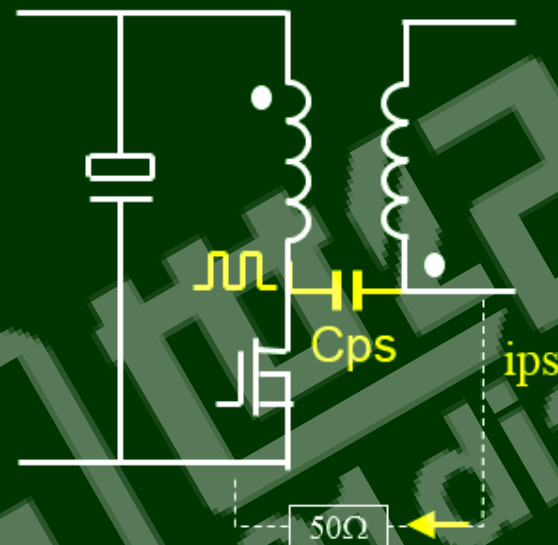
□  $C_p$ 对损耗的效应 →  $P_{Cp} = \left(\frac{1}{2} \cdot C_p \cdot V_p^2\right) \cdot f$

# 原、副边绕组间共模噪音电流机理



$$Q_{ps} = \int_0^A dq = \int_0^A \Delta V(x) dC = \int_0^A \left(\frac{C_0}{A} dx\right) \left(\frac{x}{A} V_p\right) = \left(\frac{C_0}{2}\right) V_p$$

\*C<sub>0</sub>为变压器原、副边间的结构电容

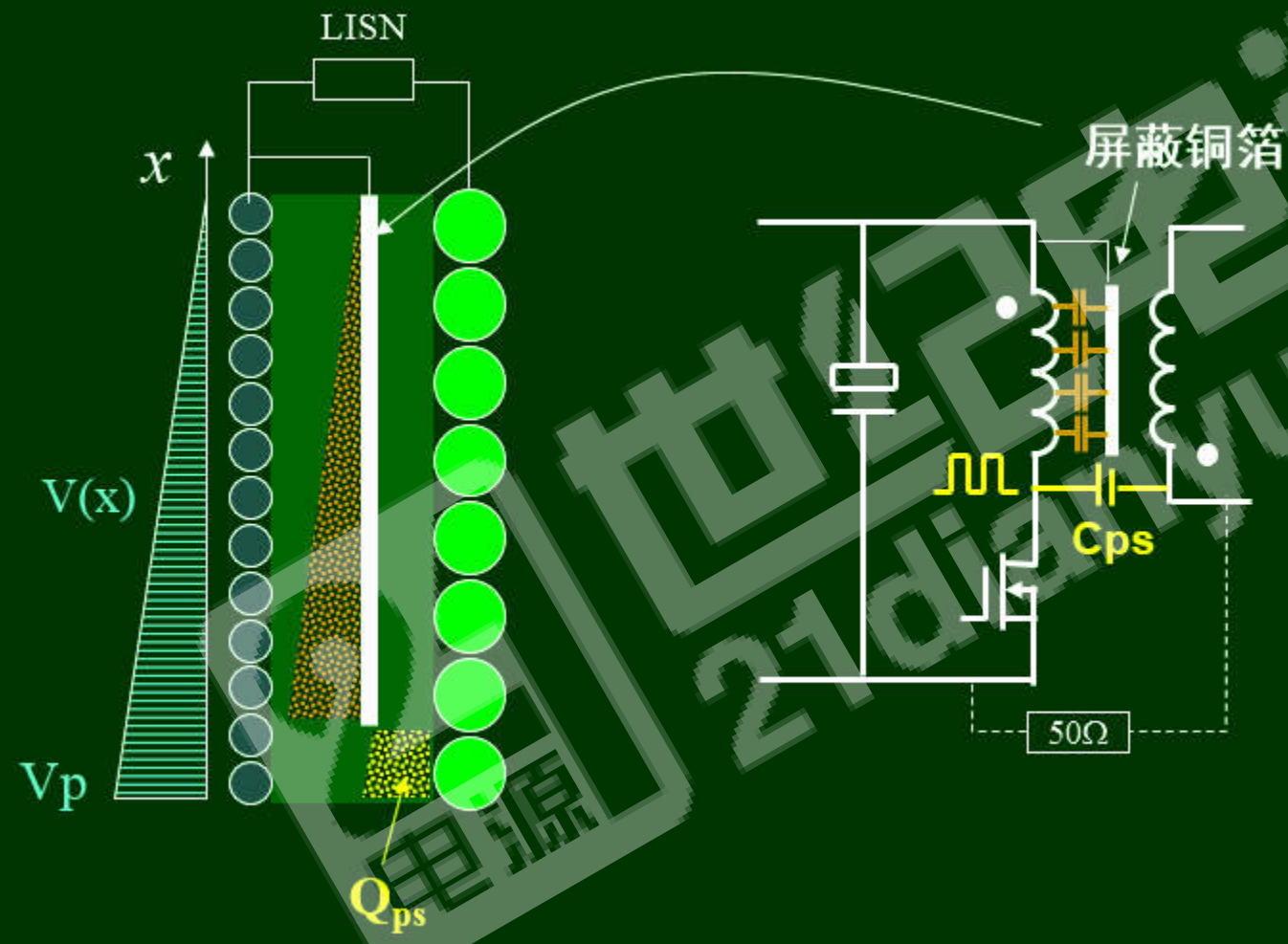


$$C_{ps} = \frac{1}{2} C_0$$

- 副边绕组感应的电荷 Q<sub>ps</sub>
- 经副边形成回路的共模电流 i<sub>ps</sub>
- 表达为等效共模电容 C<sub>ps</sub>

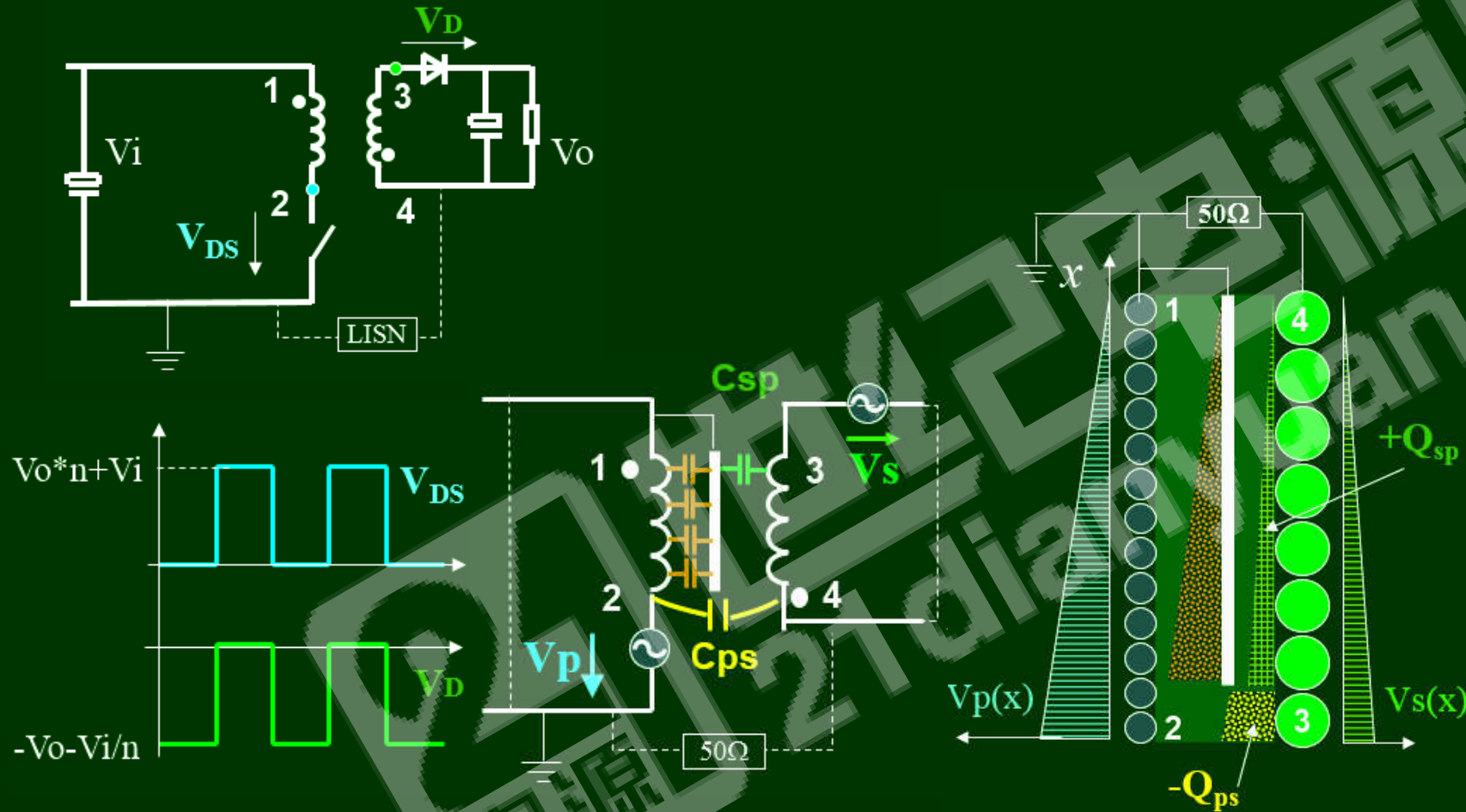
变压器副绕组导体上感应出的电荷就形成共模噪声电流

# 有屏蔽层变压器的绕组电场分布





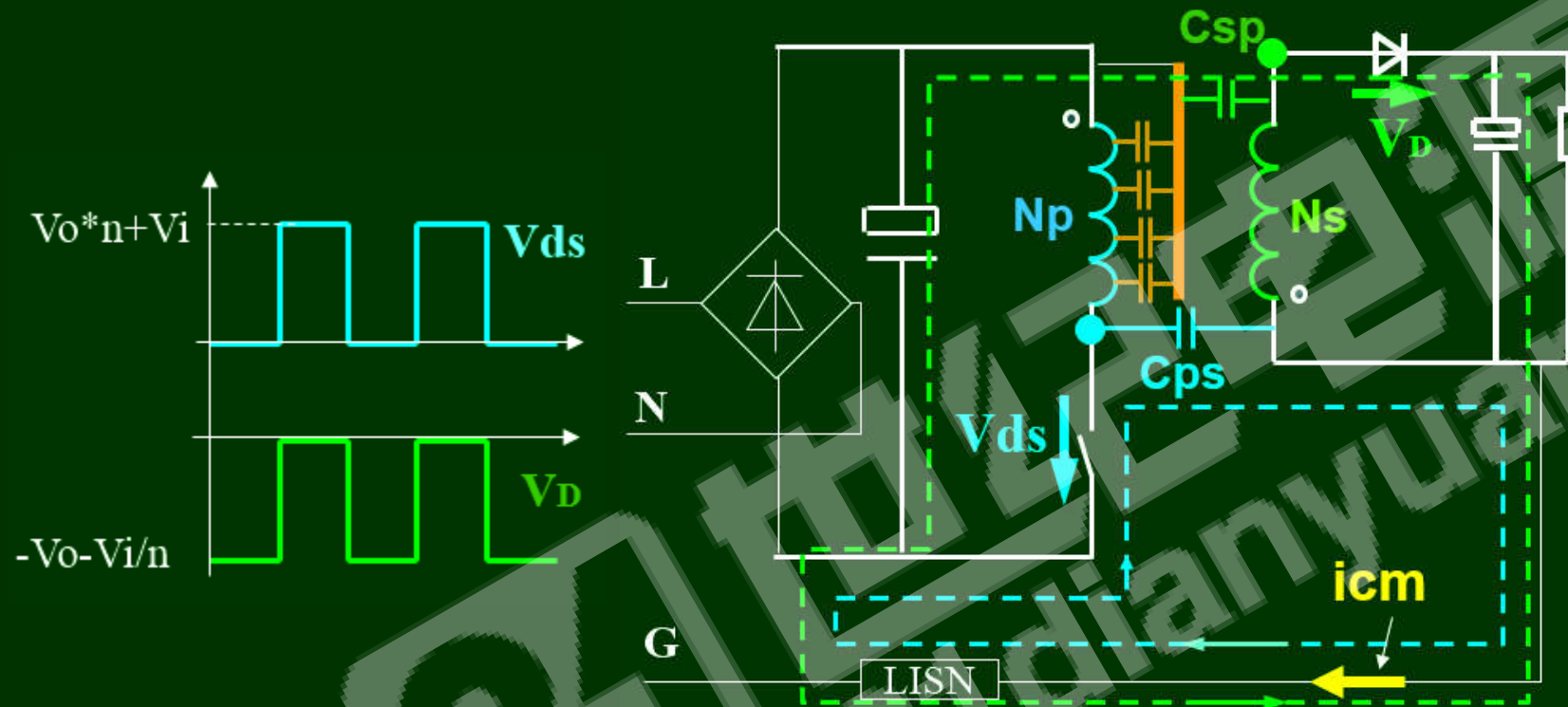
## 考虑副边电位的有屏蔽变压器电场分布



□ 当  $(-Q_{ps} + Q_{sp}) = 0$  时，变压器的共模噪音相互抵消



## 考虑副边电位的噪声路径分析

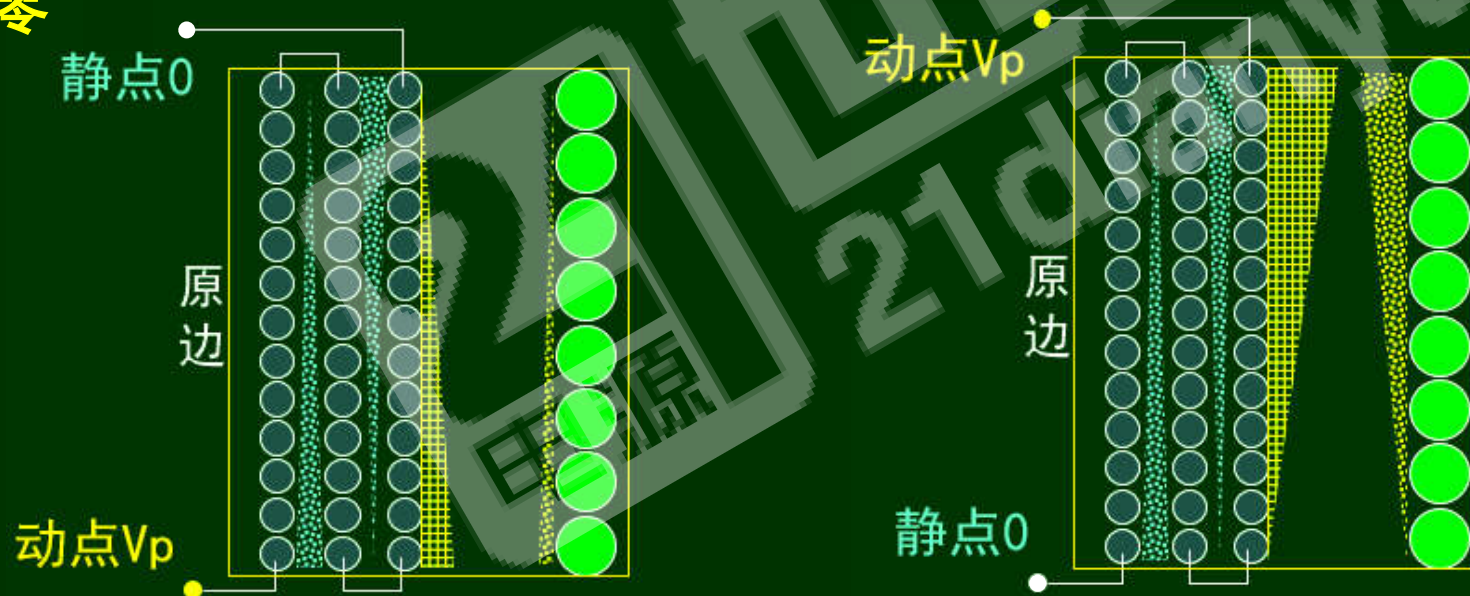


□  $V_p$ 和 $V_s$ 相位基本相同，大小差 $n$ 倍

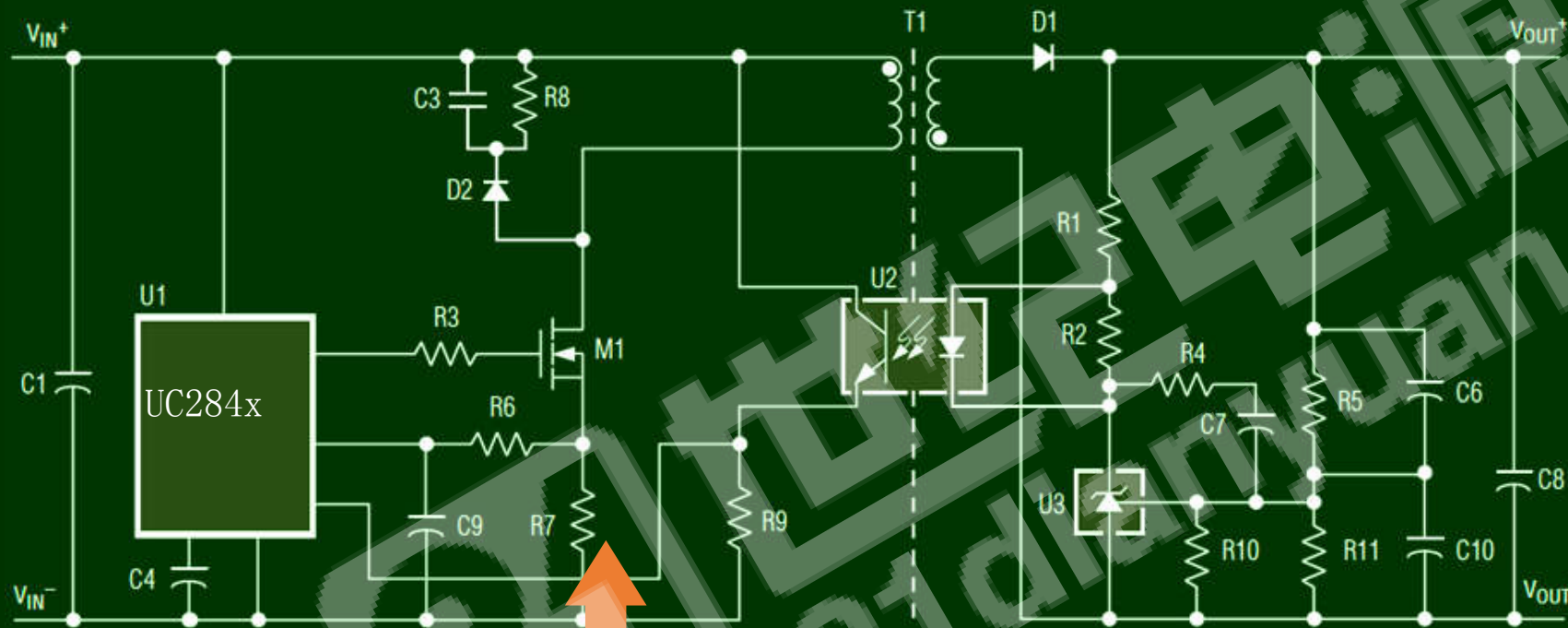
□ 当满足 $V_p * C_{ps} = V_s * C_{sp}$ 时，变压器共模噪音将相互抵消为零

## 降低共模耦合电容的考虑

- 增加原副边绕组间的距离
  - 减少原副边绕组间的面积
  - 采用低介电系数绝缘胶带
  - 采用更完全的屏蔽
  - 调整电位分布使副边电荷为零
- ➔ 漏感增大, 体积增大
  - ➔ 绕组层增多, 损耗增大
  - ➔ 增加成本
  - ➔ 增加空间, 成本和损耗
  - ➔ 很多方法



# 传统光耦反馈反激变换器



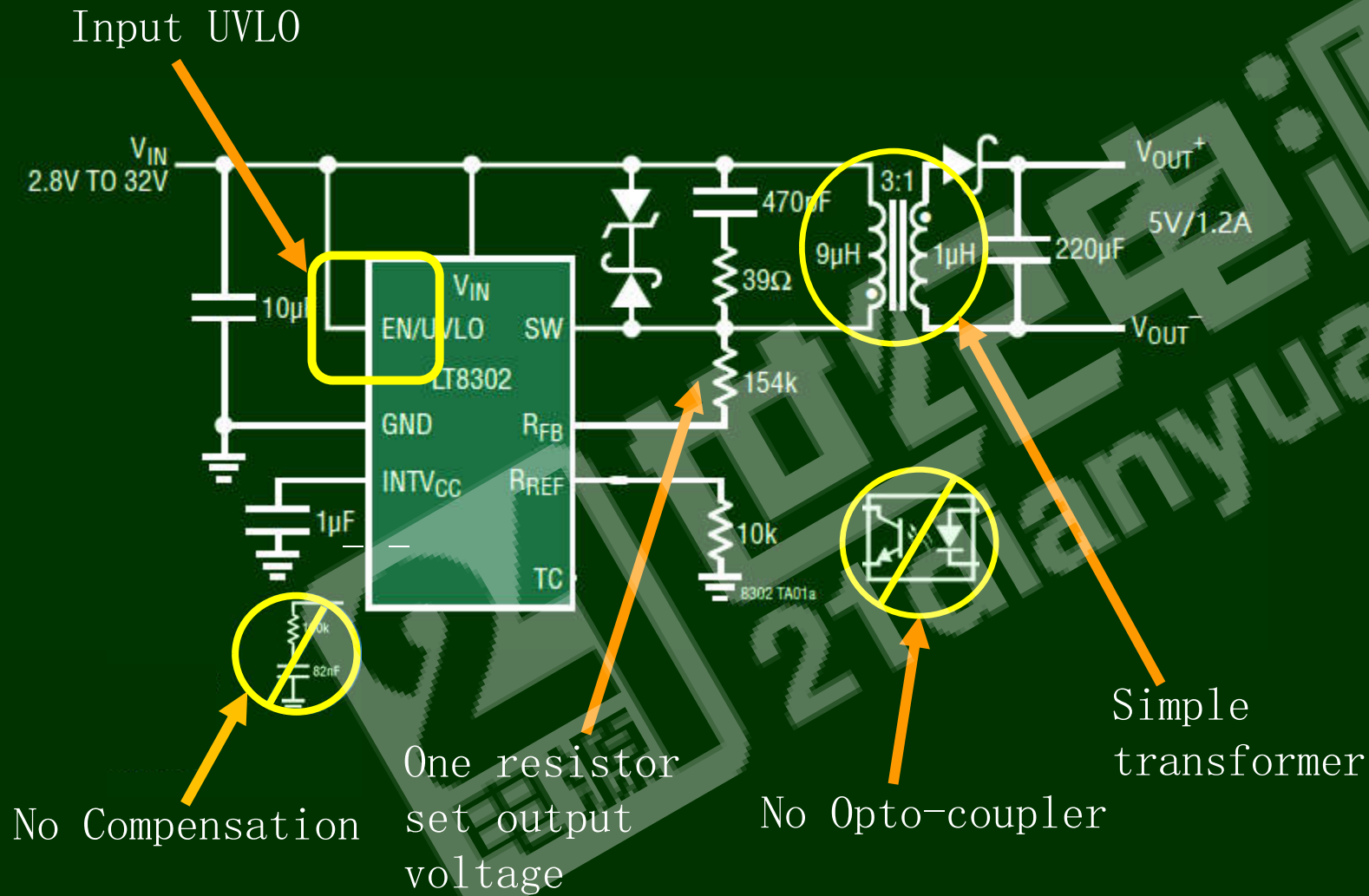
Primary Side IC

Switch FET

Opto

Secondary Side Reference and Loop Compensation

# ADI 绕组反馈反激变换器



谢谢大家!



21 电子电源网  
21dianyuan.com